

REPUBLIQUE ALGÉRIENNE DÉMOCRATIQUE ET POPULAIRE
Ministère De L'enseignement Supérieur
Et De La Recherche Scientifique



UNIVERSITÉ ECHAHID HAMMA LAKHDAR
D'EL-OUED
FACULTÉ DE LA SCIENCES EXACTES



MÉMOIRE DE FIN D'ÉTUDE

MASTER ACADÉMIQUE

Domaine : Mathématiques et informatique

Filière : Mathématiques

Option : Mathématiques fondamentales

Thème

Résolution d'équations aux dérivées partielles
avec FreeFem++.

Présenté par : ALIA Maroua
NISSE Sara

Soutenu publiquement le :08/06/2023, devant le jury composé de :

MEDEKHEL Hamza

Président

MCB Univ. El-Oued

MOUMEN BEKKOUCHE M.

Encadreur

MCB Univ. El-Oued

DOUDI Nadjet

Examineur

MCB Univ. El-Oued

Promotion : 2022/2023

Dédicaces

A nos chers parents, pour tous leurs sacrifices, leur amour, leur tendance, leur soutien et leurs prières tout au long de nos études.

A nos chers frères et soeurs, pour leur appui et leur encouragement.

A nos chers professeurs qui nous ont accordés les meilleures connaissances.

A nos amis qui nous ont soutenus dans les moments difficiles.

Que ce travail soit l'accomplissement de vos vœux tant allégués, et le fruit de votre soutien infailible.

Merci d'être toujours là pour nous.

Remerciements

*Avant tout nous remercions **ALLAH** qui nous a orienté au chemin du savoir et aux portes de la science.*

*Un remerciement particulier à notre encadreur **Dr. MOUMEN BEKKOUCHE Mohammed** pour la pertinence de ses remarques et sa patience pendant la réalisation de ce travail de recherche.*

*Nous remercions également **Dr. MEDEKHEL Hamza** pour avoir accepté de présider.
Notre jury **Dr. DOUDI Nadjat** pour avoir accepté d'examiner notre travail.*

Nous remercions aussi le corps professoral et administratif de Faculté Des Sciences Exactes pour la richesse et la qualité de leur enseignement, qui déploient de grandes efforts pour assurer à leurs étudiants une formation actualisée.

Nous tenons à remercier toutes les personnes qui ont participé de près ou de loin à la réalisation de ce travail.

Résumé

FreeFem++ est un logiciel (freeware) écrit en C++, porté sous Windows, Linux et MacOS. Il permet de créer des maillages ainsi que de résoudre des équations aux dérivées partielles par la méthode des éléments finis. L'objectif de ce travail est de trouver des solutions à classes des équations aux dérivées partielles stationnaires et instationnaires en utilisant FreeFem++. On expliquant la méthode de résolution est illustrée à travers des exemples des problèmes variés. On aborde également la recherche de la formulation variationnelle des problèmes, ainsi que les principales commandes utilisées pour écrire le programme de résolution.

Mots clés : FreeFem++, formulation variationnelle, équations aux dérivées partielles, problèmes, stationnaires, instationnaires.

Abstract

FreeFem++ is a software (freeware) written in C++, ported to Windows, Linux and macOS. It makes it possible to create meshes as well as to solve partial differential equations by the finite element method. The objective of this work is to find solutions to classes of stationary and unstationary partial differential equations using FreeFem++. The method of solving is explained and illustrated through examples of various problems. We also discuss the research of the variational formulation of the problems, as well as the main commands used to write the solving program.

Key words: FreeFem++, variational formulation, partial differential equations, problems, stationary, unstationary.

ملخص

فر يفام++ برنامج (مجاني) مكتوب بلغة C++ ، يعمل على ويندوز ، لينكس وماك. يسمح بإنشاء شبكات وكذلك حل المعادلات التفاضلية الجزئية باعتماد طريقة العناصر المنتهية. الهدف من هذا العمل هو إيجاد حلول لبعض أصناف المعادلات التفاضلية الجزئية المستقرة والتطورية باستخدام فر يفام++. وقد تم شرح طريقة الحل وتوضيحها من خلال أمثلة لمشاكل مختلفة. كما تناول البحث الصيغة التغيرية لهذه المسائل ، وكذلك الأوامر الرئيسية المستخدمة لكتابة برنامج الحل .

الكلمات المفتاحية: فر يفام++، الصيغة التغيرية، معادلات تفاضلية جزئية، مشاكل، مستقرة، غير مستقرة.

Notations

Dans tout ce qui suit, nous utiliserons les notations suivantes :

EDP	Equations différentielle partielles.
C.L.	Conditions aux limites.
\mathbb{N}	L'ensemble des nombres naturels.
\mathbb{R}	L'ensemble des nombres réels.
Ω	Un ouvert.
$\partial\Omega$ où Γ	La frontière de Ω .
$\frac{\partial u}{\partial x}$	Dérivée partielle en espace.
$\frac{\partial u}{\partial t}$	Dérivée partielle en temps.
∇u	Gradient en espace : $\nabla u = (\frac{\partial u}{\partial x_1}, \dots, \frac{\partial u}{\partial x_N})^T$.
$divu$	Divergence d'un vecteur $u = (u_1, \dots, u_N)^T$: $divu = \sum_{i=1}^N \frac{\partial u_i}{\partial x_i}$.
Δu	Laplacien de u : $\Delta u = div(\nabla u) = \sum_{i=1}^N \frac{\partial^2 u}{\partial x_i^2}$.
dx	Mesure de Lebesgue de dimension N .
$d\sigma$	Mesure de Lebesgue sur le bord $\partial\Omega$.

Table des matières

Dédicaces	2
Remerciements	3
Résumé	4
Notations	5
Introduction	1
1 Présentation à FreeFem++	2
1.1 FreeFem++	2
1.1.1 Comment l'installer	2
1.2 Quelques méthodes de résoudre de l'EDP	8
1.2.1 Principe de la méthode des éléments finis	8
1.2.2 Principe de la méthode des différences finies	9
1.2.3 Principe de la méthode de Galerkin	10
1.3 Formulation variationnelle	10
1.3.1 Les espaces de Sobolev	10
1.3.2 Formule de Green	11
1.3.3 Formulation variationnelle	11
1.4 Comment l'utiliser	12
1.4.1 Principe de fonctionnement de FreeFem++	12
1.4.2 Commandes de base	12
1.4.3 Quelques commandes	12
1.4.4 Comment l'utiliser	13
1.4.5 Liste des types des élément finis	13
1.5 Généralités sur les équations aux dérivées partielles	14
1.5.1 EDP du second ordre dans \mathbb{R}^N	15
1.5.2 Classification d'une EDP linéaire dans \mathbb{R}^N	16
2 Problèmes stationnaires	17
2.1 Les étapes du solution par FreeFem++	17
2.1.1 Construction du maillage	17
2.1.2 Maillage de la surface délimitée	17
2.2 Étude problème de Poisson	18
2.2.1 Conditions aux limites de Dirichlet "homogène"	18
2.2.2 Conditions aux limites de Neumann	24
2.2.3 Conditions aux limites mixtes	28

2.2.4	Conditions aux limites de Robin	34
3	Problèmes instationnaires	36
3.1	Problèmes d'évolution	36
3.1.1	Schéma implicite	36
3.1.2	Schéma d'euler explicite	46
3.1.3	Schéma de Rung-Kutta	48
3.1.4	Schéma implicite avec C.L de Robin	50
	Conclusion	57

Table des figures

2.1	Maillage	20
2.2	Solution en utilisant P1	20
2.3	Solution en utilisant P2	21
2.4	Maillage avec 30 points dans le bord	22
2.5	Solution avec 30 points dans le bord	22
2.6	Maillage avec 100 points dans le bord	22
2.7	Solution avec 100 points dans le bord	23
2.8	Maillage	24
2.9	Solution	24
2.10	Solution avec maillage irrégulier	24
2.11	Maillage	26
2.12	Solution en utilisant P1	26
2.13	Solution en utilisant P3	27
2.14	Solution en utilisant P4	27
2.15	Affichage d'erreur	28
2.16	Maillage	29
2.17	Solution avec C.L. mixtes	29
2.18	Solution avec bordures ne sont pas fermés	30
2.19	Affichage d'erreur	30
2.20	Affichage de Freefem	31
2.21	Affichage d'erreur	31
2.22	Maillage Th	32
2.23	Maillage Mh	33
2.24	Calculer l'erreur pour problème P	33
2.25	Solutions	33
2.26	Solution avec C.L. de Robin (3D)	35
3.1	Maillage	38
3.2	Début de la solution	38
3.3	Fin de la solution	38
3.4	Début de la solution	41
3.5	Solution du moment $t=0.3$	41
3.6	Fin de la solution	41
3.7	Maillage	43
3.8	Début de la solution	43
3.9	Solution à moment facultatif	43
3.10	Solution à moment facultatif	43
3.11	Fin de la solution	43

3.12 Début de la solution	44
3.13 Solution à moment facultatif	44
3.14 Fin de la solution	44
3.15 Affichage d'erreur	44
3.16 Début de la solution	46
3.17 Fin de la solution	46
3.18 Maillage	47
3.19 Début de la solution	47
3.20 Fin de la solution	48
3.21 Maillage	49
3.22 Début de la solution	49
3.23 Fin de la solution	50
3.24 Maillage	52
3.25 Solution uh	52
3.26 Projection de la solution	52
3.27 Solution uh	53
3.28 Projection de la solution	53
3.29 Maillage	55
3.30 Solution uh	55
3.31 Projection de la solution uh	55
3.32 Solution uh	56
3.33 Projection de la solution	56

Introduction

Les équations aux dérivées partielles représentent une importante outil dans toutes les filières des sciences d'ingérieries et physiques, où les plus des relations et les lois reliant entre les variables des phénomènes physiques ou d'ingérierie qui se reflètent sous forme des équations différentielles.

Pour bien comprendre ces derniers problèmes il est indispensable de résoudre ces équations, du fait que dans plusieurs ces leurs solutions s'avèrent très difficiles et compliquées. Les savant et les chercheurs ont trouvé plus facile d'utiliser ces programmes pour résoudre ce genre de problèmes.

FreeFem++ est l'un des programmes qui facilite la résolution de ce genre de problème en réduisant tout le programme ou il est posé sur la formulation variationnelle du problème.

Ce dernier outil de programmation c'est développer comme suite :

- 1987 MacFem/PCFem les ancêtres (O. Pironneau en Pascal) payant.
- 1992 FreeFem réécriture de C++ (P1,P0 un maillage) O. Pironneau, D. Bernardi, F. Hecht , C. Prudhomme (adaptation Maillage, bamg).
- 1996 FreeFem+ réécriture de C++ (P1,P0 plusieurs maillages) O. Pironneau, D. Bernardi, F. Hecht (algèbre de fonction).
- 1998 FreeFem++ réécriture avec autre noyau élément fini, et un autre langage utilisateur ; F. Hecht, O. Pironneau, K.Ohtsuka.
- 1999 FreeFem 3d (S. Del Pino) , Une première version de freefem en 3d avec des méthodes de domaine fictif.
- 2008 FreeFem++ v3 réécriture du noyau élément fini pour prendre en compte les cas multidimensionnels : 1d,2d,3d

Dans ce mémoire on va exprimer comment résoudre les équations aux dérivées partielles par FreeFem++. notre travail se présente en trois chapitres :

Dans le premier chapitre on va présenter comment installer FreeFem++, certaines de ses propriétés et le principe de se travail. Aussi, trois méthodes classiques pour la résolution des EDP (méthode des éléments finis, méthode des différences finis, méthode de Galarkin). Enfin, on va présenter des généralités sur EDP et ses classifications.

Dans le deuxième chapitre on va présenter des problèmes stationnaires, les étapes de la solution par Freefem++ et on va étudier le problème de Poisson en détail en se basant sur la classification des EDP (C.L. de Dirichlet "homogène", C.L. de Neuman, C.L. mixtes, C.L. de Fourier). Aussi, on va présenter quelques notes et instructions liées aux commandes de FreeFem++, ainsi que quelques erreurs à éviter lors de la création du code.

Dans le troisième chapitre on va présenté des problèmes instationnaires, et on va expliquer les méthodes de résoudre avec des conditions aux limites différents.

Chapitre 1

Présentation à FreeFem++

Dans ce chapitre, on va présenter une introduction au logiciel FreeFem++, on va expliquer sa définition, et comment l'installe, et ses principes de résoudre.

On va expliquer les commandes importante utilisées de manière répétée pour résoudre les équations aux dérivées partielles.

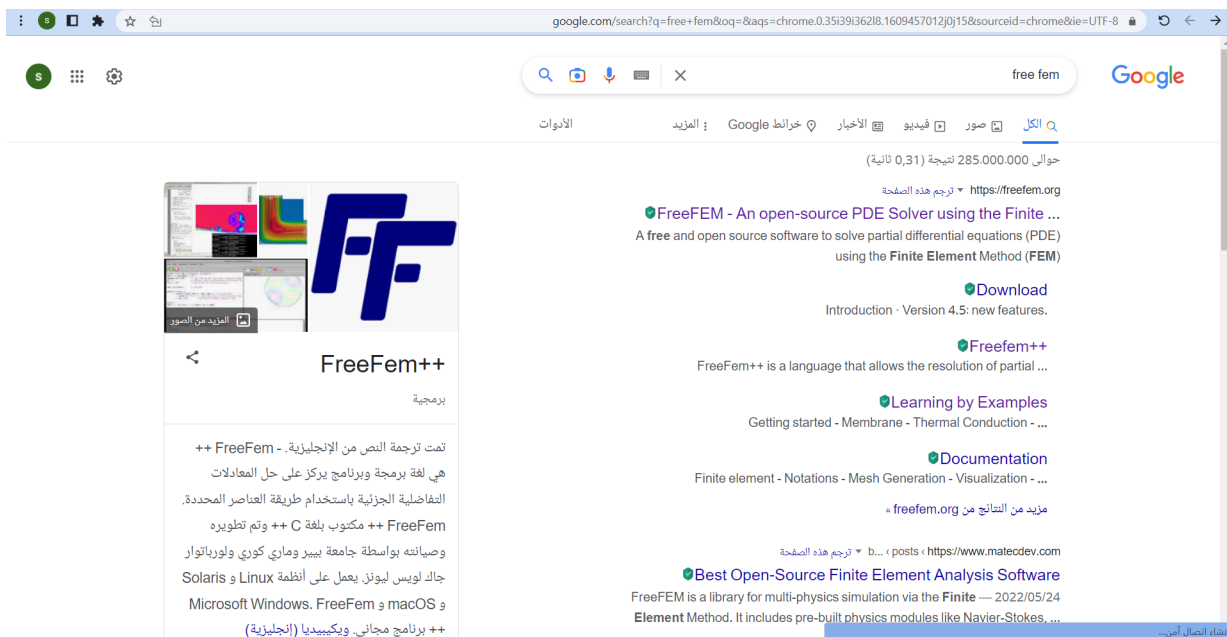
De plus, on va présenter les concepts généraux liés aux équations aux dérivées partielles et à la formulation variationnelle, tout en soulignant les méthodes les plus importantes utilisées pour les résoudre.

1.1 FreeFem++

Définition 1.1. *FreeFem++ est un logiciel (freeware) écrit en C++, porté sous Windows, Linux et MacOS. Il s'exécute en ligne de commande. Il permet de créer des maillages ainsi que de résoudre des équations aux dérivées partielles par la méthode des éléments finis.*

1.1.1 Comment l'installer

1. Ouvrir le lien :<http://www.freefem.org/f++>, où la fenêtre suivante apparaît



2. Choisir la première option parmi les résultats de la recherche et cliquer "Download"

FreeFEM++

DOCUMENTATION COMMUNITY MODULES SOURCE CODE GALLERY EVENTS TRY IT ONLINE DONATE

14th EDITION - PARIS
8 & 9 december 2022

```
load "mesh3"
// Parameters
int nn = 20; // Mesh quality
// Mesh
int[int] labs = [1, 2, 2, 1, 1, 2]; // Label numbers
mesh3 Th = cube(nn, nn, nn, label=labs);
// Remove the ]0.5,1[^3 domain of the cube
Th = trunc(Th, (x < 0.5) | (y < 0.5) | (z < 0.5), 1);
// Fespace
fespace Vh(Th, P1);
Vh u, v;
// Macro
macro Grad(u) [dx(u), dy(u), dz(u)] //
// Define the weak form and solve
solve Poisson(u, v, solver=C6)
- int3d(Th)(
  Grad(u) * Grad(v)
)
- int3d(Th)(
  1 * v
)
+ on(1, u=0)
;
// Plot
plot(u, nbiso=15);
```

A high level multiphysics finite element software

FreeFEM offers a fast interpolation algorithm and a language for the manipulation of data on multiple meshes.

v4.12
Release notes

Download

All platforms (LGPL 3.0)

3. Choisir le premier choix pour Windows 64 bits

github.com/FreeFem/FreeFem-sources/releases

- PETSc 3.18.0 by @prj- in #238
- Fixed a bug of setenv in shell.edp by @zhaog6 in #232
- Version v4.12 by @prj- in #244
- Version win64 for x86 not really tested

Full Changelog: [v4.11...v4.12](#)

Contributors

prj- and zhaog6

Assets

FreeFem++-4.12-win64.exe	262 MB	Dec 7, 2022
FreeFEM-4.12-amd64-ubuntu20.04.deb	307 MB	Dec 7, 2022
FreeFEM-4.12-Apple-M1.dmg	183 MB	2 days ago
Source code (zip)		Dec 1, 2022
Source code (tar.gz)		Dec 1, 2022

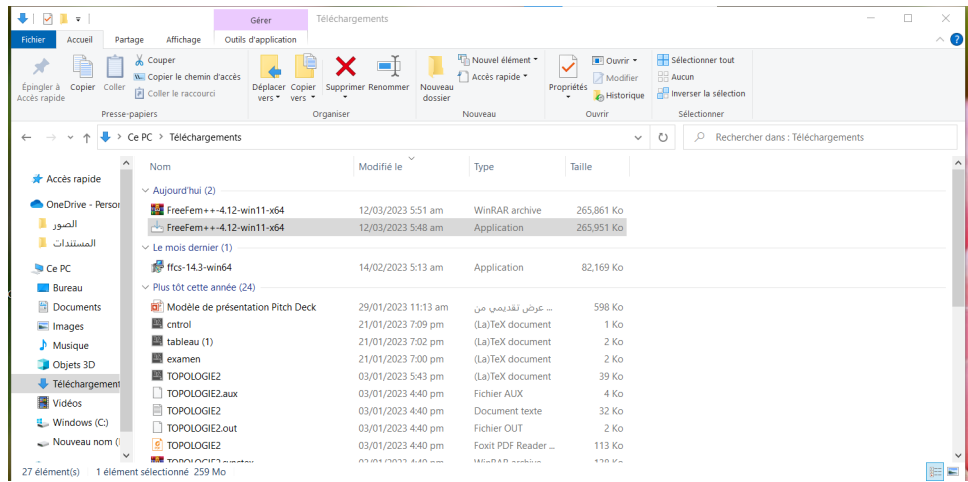
Apr 5, 2022

prj-

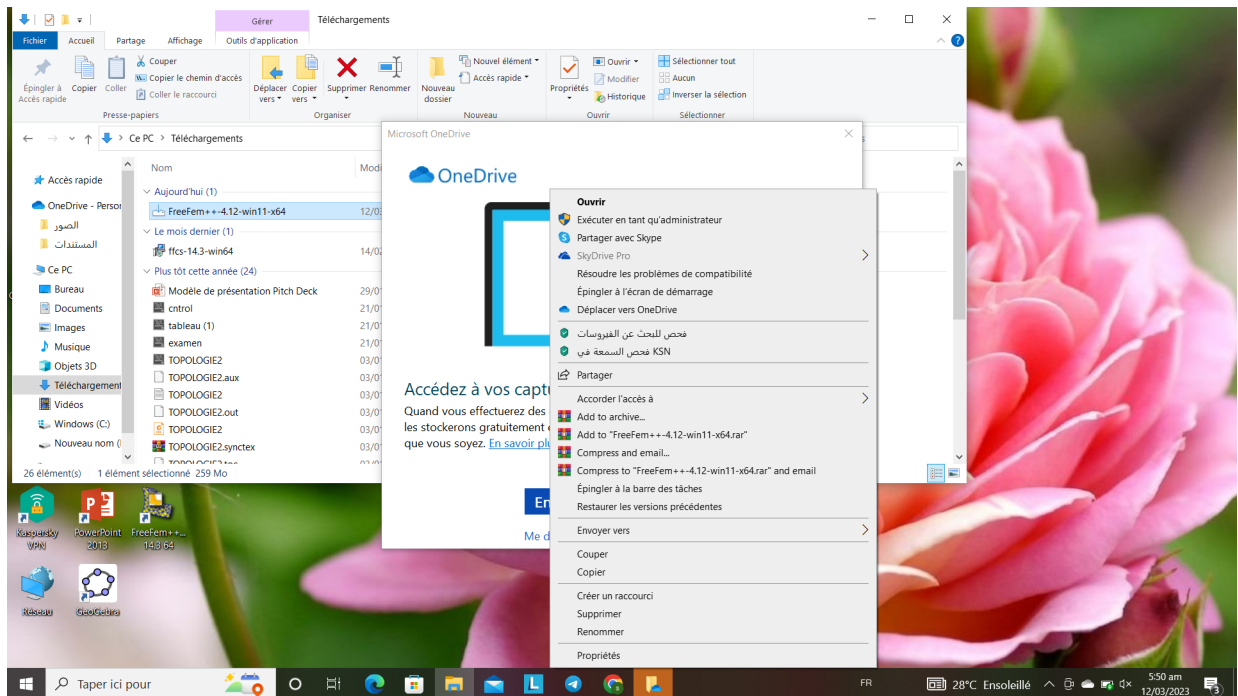
v4.11

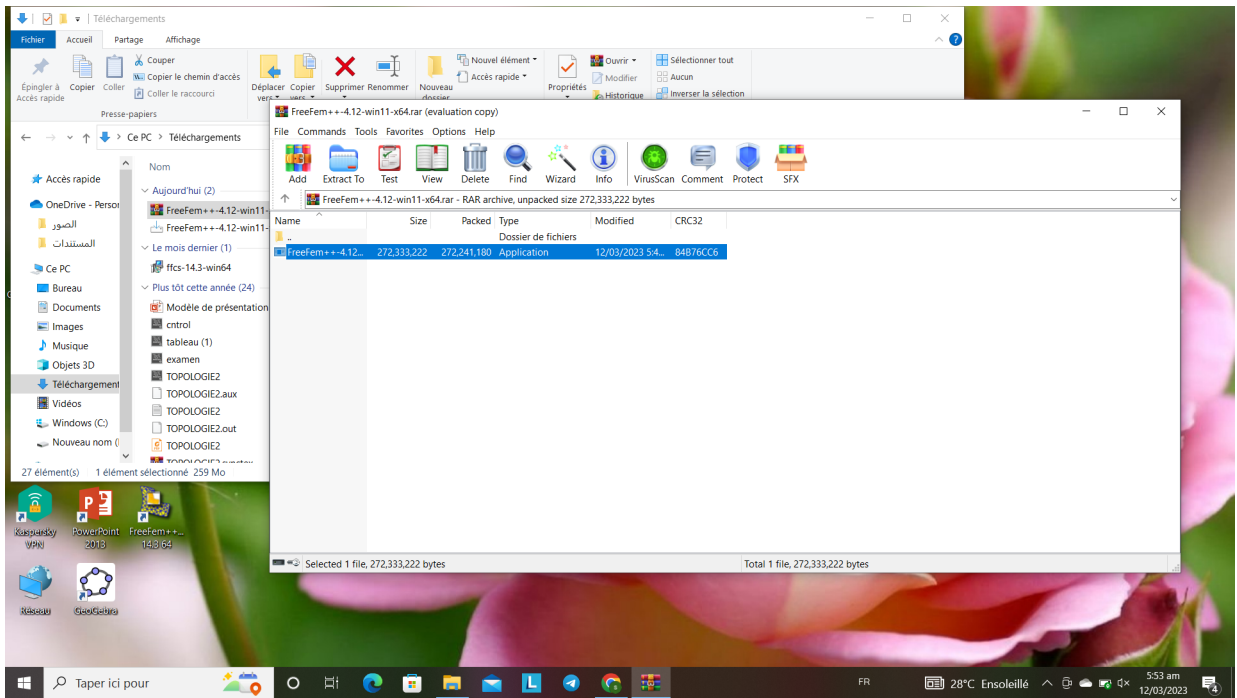
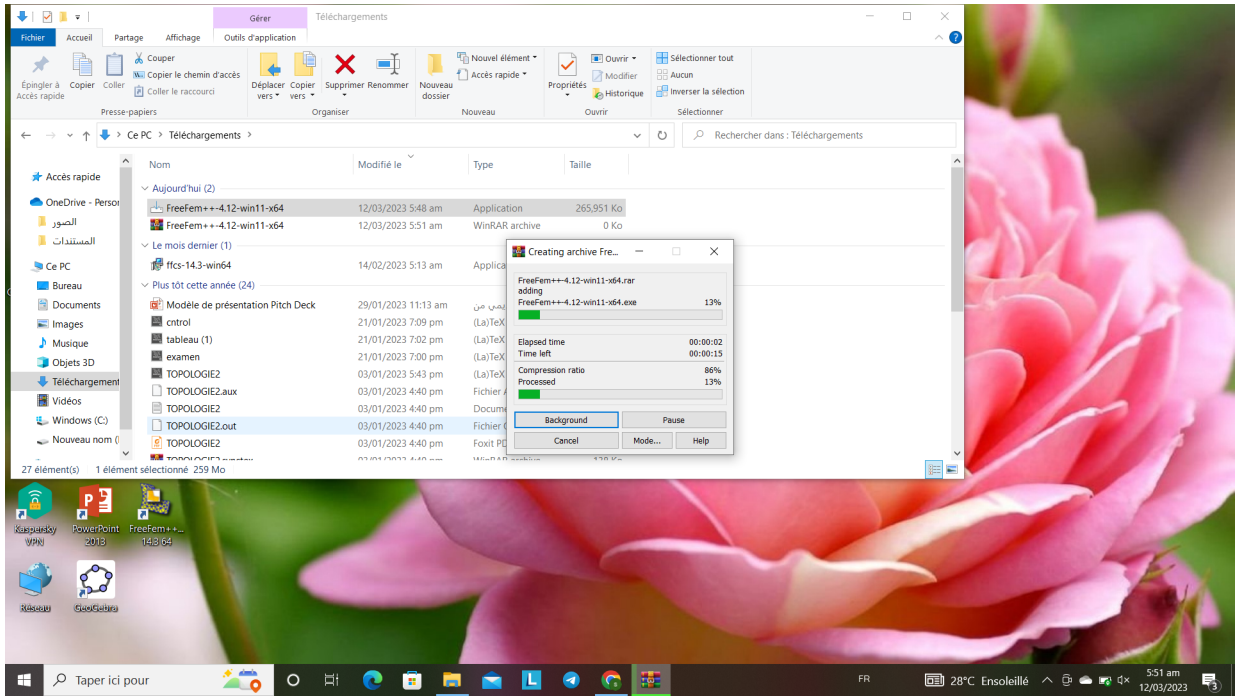
FreeFEM v4.11

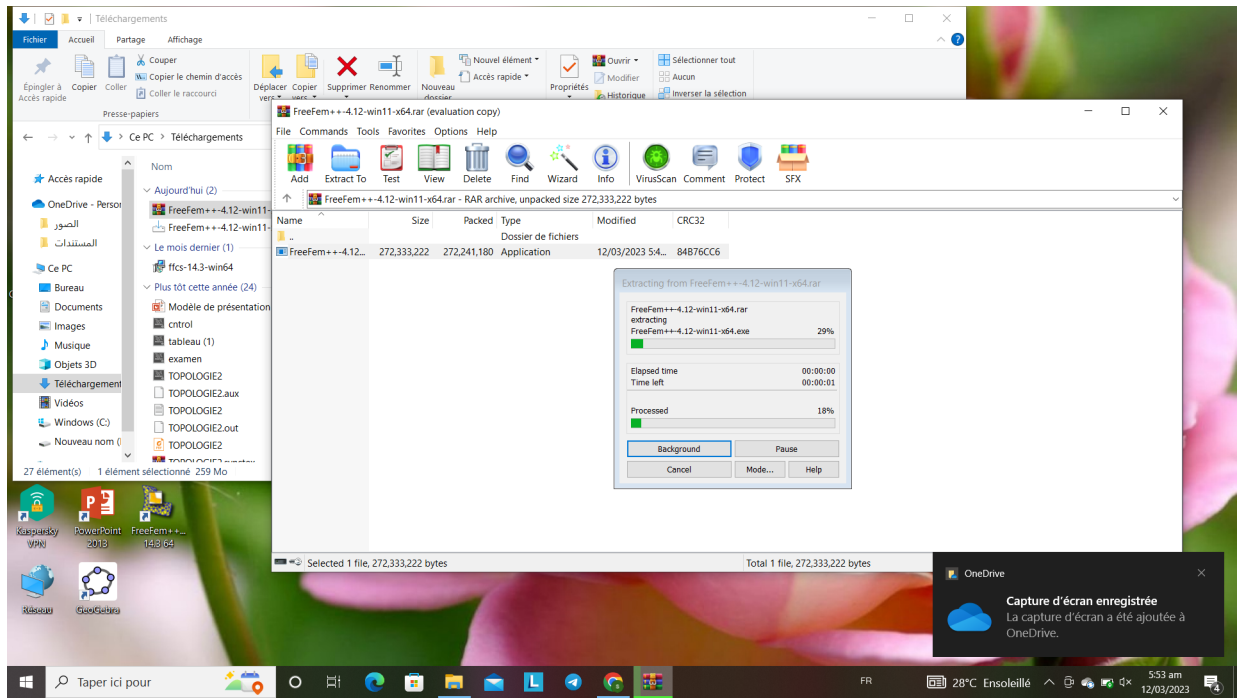
4. Aller à "Téléchargement"



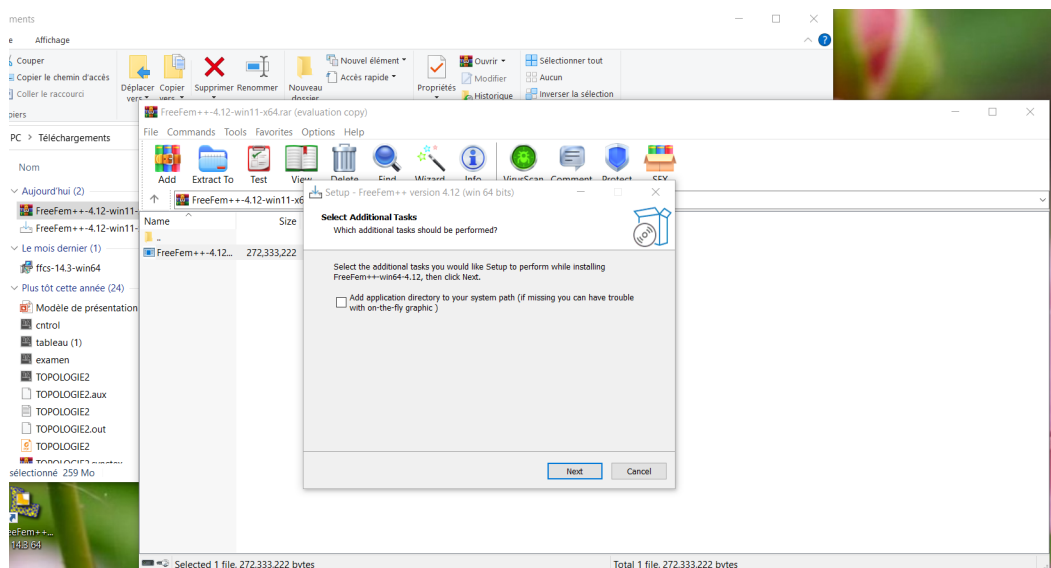
5. Ouvrir leur emballer



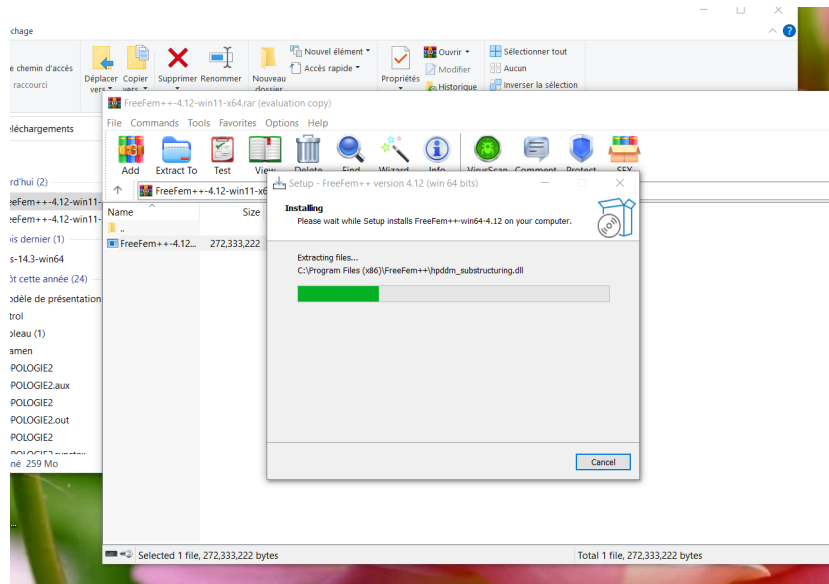
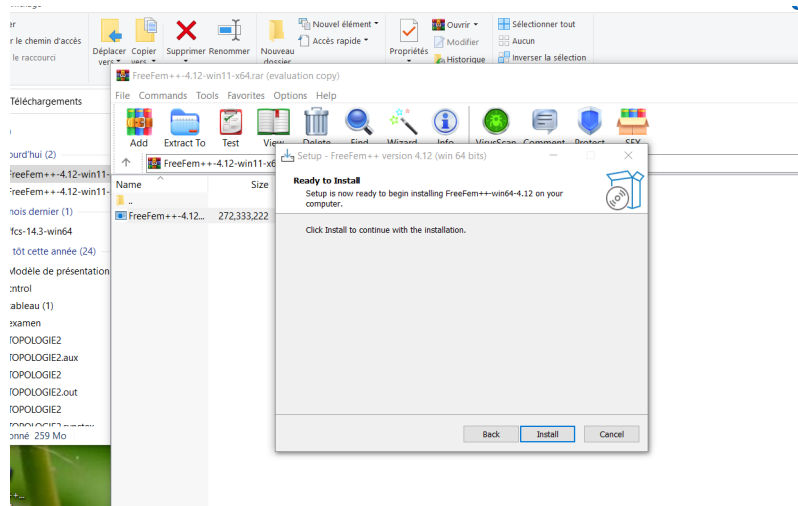




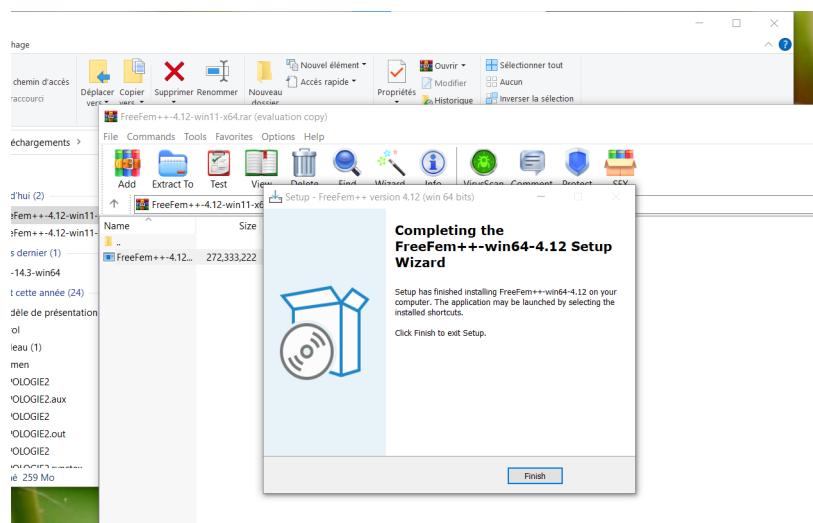
6. Cliquer sur "Next"



7. Cliquer sur "Install"



8. Cliquer sur "Finish"





Remarque 1.1. Pour installer FreeFem++ à 32 bits, on choisit la copie Windows 32 bits dans le même lien en dessus.

1.2 Quelques méthodes de résoudre de l'EDP

1.2.1 Principe de la méthode des éléments finis

L'approche générale de la méthode des éléments finis est la suivante. Nous avons une EDP à résoudre sur un domaine Ω . On écrit la formulation variationnelle de cette EDP, puis on obtient un problème du type :

$$\text{Trouver } u \in V \text{ tel que } a(u, v) = L(v), \forall v \in V \quad (1.1)$$

On essaie ensuite d'approximer u par une fonction linéaire continue par morceaux. À cette fin nous introduisons un maillage sur l'intervalle Ω constitué de n sous-intervalles, et l'espace correspondant $V_h \subset V$ de toutes les linéaires continues par morceaux. Puisqu'il s'agit de fonctions qui s'annulent au extrémités de Ω , alors le problème approximatif est :

$$\text{Trouver } u_h \in V_h \text{ tel que } a(u_h, v_h) = L(v_h), \forall v_h \in V_h \quad (1.2)$$

L'espace V_h est de dimension finie, donc le problème 1.2 peut en fait être refondu comme un système linéaire, comme nous le montrons maintenant. Notons N la dimension de V_h et soit $(\varphi_1, \dots, \varphi_N)$ une base de V_h . On développe $u_h \in V_h$ sur la base de V_h comme :

$$u_h = \sum_{i=1}^N u_i \varphi_i$$

En considérant φ_j comme fonction test, on voit que le problème 1.2 est équivalent à :

$$\text{Trouver } u_1, \dots, u_N \text{ tel que } \sum_{i=1}^N u_i a(\varphi_i, \varphi_j) = L(\varphi_j), \quad \forall j = 1, \dots, N \quad (1.3)$$

On introduit ainsi la matrice $A \in \mathbb{R}^{N \times N}$ définie par :

$$A_{ij} = a(\varphi_i, \varphi_j)$$

et le vecteur $b \in \mathbb{R}^N$ défini par :

$$F_j = L(\varphi_j)$$

et reformuler le problème en dessus en tant que système linéaire :

$$\begin{pmatrix} a(\varphi_1, \varphi_1) & \cdots & a(\varphi_1, \varphi_n) \\ \vdots & & \vdots \\ a(\varphi_1, \varphi_n) & \cdots & a(\varphi_n, \varphi_n) \end{pmatrix} \begin{pmatrix} u_1 \\ \vdots \\ u_n \end{pmatrix} = \begin{pmatrix} l(\varphi_1) \\ \vdots \\ l(\varphi_n) \end{pmatrix} \quad (1.4)$$

Sous forme matricielle on écrit ceci :

$$Au = F$$

La matrice A est appelée matrice de rigidité, en référence aux problèmes de mécanique où elle a été introduite pour la première fois. Cette matrice a des propriétés qui proviennent directement des propriétés satisfaites par la forme bilinéaire a , et b comme vecteur de charge.

1.2.2 Principe de la méthode des différences finies

Le principe de la méthode des différences finies consiste à construire un maillage (un ensemble de points x_i pour $N = 1, N = 2$) sur lequel on va appliquer la méthode des différences finies, puis notre problème continue (P_c) devient un problème discret (P_h), la solution numérique de (P_h) revient à résoudre un système de type $A_h u_h = b$.

D'abord, on opte à la discrétisation du maillage comme suite :

Dans le cas $N = 1$: $\Omega =]a, b[$, $\partial\Omega = \{a, b\}$ le maillage.

$$x_0 = a \quad x_{S+1} = b \quad x_i = a + ih, \quad 1 \leq i \leq S, \quad h = \frac{b - a}{S + 1}$$

Dans le cas $N = 2$: $\Omega =]a, b[\times]c, d[$ un maillage.

$$x_i = a + ih \quad 1 \leq i \leq S, \quad h = \frac{b - a}{S + 1}$$

$$y_j = c + jk \quad 1 \leq j \leq T \quad k = \frac{d - c}{T + 1}$$

$h = x_{i+1} - x_i$ et $k = y_{j+1} - y_j$ sont les pas de la discrétisation.

Ensuite, on trouve les expressions de la première et seconde dérivées en utilisant des éditions limitées d'Euler pour la formule d'approximation du $\frac{\partial u}{\partial x}$ et $\frac{\partial^2 u}{\partial x^2}$

Enfin, on étudie la convergence, la consistance et la stabilité du schéma

Proposition 1.1. *On dit que le problème est converge si et sellement s'il est consiste et stable.*

Remarque 1.2. On étudie la consistance et la stabilité pour la norme $\|\cdot\|_\infty$ de notre problème précédent.

1.2.3 Principe de la méthode de Galerkin

La méthode de Galerkin est une méthode très générale et très robuste. L'idée de la méthode est la suivante :

Partant d'un problème posé dans un espace de dimension infinie, on procède d'abord à une approximation dans une suite croissante de sous-espaces de dimension finie, on va résoudre ensuite le problème approché, ce qui est en général plus facile que de résoudre directement en dimension infinie.

Enfin, on passe d'une façon à une autre à la limite quand on fait tendre la dimension des espaces d'approximation vers l'infini pour construire une solution du problème de départ. Il convient de noter que, outre son intérêt théorique, la méthode de Galerkin fournit également un procédé constructif d'approximation.^[10]

1.3 Formulation variationnelle

1.3.1 Les espaces de Sobolev

Soit Ω un ouvert dans \mathbb{R}^N .

. L'espace $H^1(\Omega)$:

$$H^1(\Omega) = \left\{ u \in L^2(\Omega), \text{ tq } \frac{\partial u}{\partial x_i} \in L^2(\Omega) \quad \forall i = 1, \dots, N \right\}$$

On munit $H^1(\Omega)$ du produit scalaire

$$\langle u, v \rangle_{H^1(\Omega)} = \int_{\Omega} u(x)v(x)dx + \int_{\Omega} \nabla u(x) \nabla v(x)dx \quad \forall u, v \in H^1(\Omega)$$

. L'espace $H_0^1(\Omega)$:

$$H_0^1(\Omega) = \left\{ u \in H^1(\Omega) : \forall \varepsilon > 0, \exists \varphi \in \mathcal{D}(\Omega) \text{ tel que } \|u - \varphi\|_{H^1(\Omega)} < \varepsilon \right\}$$

On munit $H_0^1(\Omega)$ du produit scalaire

$$\langle u, v \rangle_{H_0^1(\Omega)} = \int_{\Omega} \nabla u(x) \nabla v(x)dx \quad \forall u, v \in H_0^1(\Omega)$$

. L'espace $H^m(\Omega)$:

$$H^m(\Omega) = \left\{ u \in L^2(\Omega) : D^\alpha u \in L^2(\Omega), \quad \forall \alpha \in \mathbb{N}^N, \text{ avec } |\alpha| \leq m \right\}$$

On munit $H^m(\Omega)$ du produit scalaire

$$\langle u, v \rangle_{H^m(\Omega)} = \sum_{|\alpha| \leq m} \int_{\Omega} D^\alpha u D^\alpha v dx \quad \forall u, v \in H^m(\Omega)$$

où D^α est la dérivation au sens des distributions d'ordre α .

Remarque 1.3. $H_0^1(\Omega)$ est sous-espace de $H^1(\Omega)$ des fonctions qui s'annulent sur la frontière de Ω .

1.3.2 Formule de Green

Théorème 1.1. Soit Ω un ouvert borné dans \mathbb{R}^N de classe C^1 , et $\nu(x) = (\nu_1, \dots, \nu_N)$ le vecteur normale unitaire extérieur à Ω .

Alors, $\forall u, v \in H^1(\Omega)$ on a :

$$\int_{\Omega} \frac{\partial u}{\partial x_i} v dx = \int_{\Gamma} u|_{\Gamma} v|_{\Gamma} \nu_i d\sigma - \int_{\Omega} u \frac{\partial v}{\partial x_i} dx \quad \forall i = 1, \dots, N$$

En particulier, si $u \in H^2(\Omega)$ et $v \in H^1(\Omega)$ on a :

$$\int_{\Omega} v \Delta u dx = \int_{\Gamma} \frac{\partial u}{\partial \nu}|_{\Gamma} v|_{\Gamma} d\sigma - \int_{\Omega} \nabla u \nabla v dx$$

Si de plus, u et $v \in H^2(\Omega)$, on a :

$$\int_{\Omega} (v \Delta u - u \Delta v) dx = \int_{\Gamma} \left(\frac{\partial u}{\partial \nu}|_{\Gamma} v|_{\Gamma} - u|_{\Gamma} \frac{\partial v}{\partial \nu}|_{\Gamma} \right) d\sigma$$

1.3.3 Formulation variationnelle

La formulation variationnelle également connue sous le nom de formulation faible permet de trouver de manière simple et rapide la solution à des phénomènes ou problèmes modélisés à travers des EDP, ceux-ci lorsqu'ils sont analysés avec les techniques ou la théorie classique des EDP, il est très complexe de trouver une solution qui satisfaisant la dite équation.

Considérons le problème suivant :

$$(P) \begin{cases} Pu = f, \text{ sur } \Omega \in \mathbb{R}^N \\ C(u)|_{\Gamma} = g \end{cases}$$

telque P : opérateur différentiel

$C(u)|_{\Gamma}$: conditions au bord de $\Omega(\Gamma)$

Pour passer au problème au sens faible :

$$(P_v) \begin{cases} u \in V \\ a(u, v) = L(v), \forall v \in V \end{cases}$$

On va le transformer à la formulation variationnelle

1. Multiplier l'équation du problème (P) pour une fonction test, intégrer par parties et utiliser les conditions aux bords appropriées .
2. Identifier l'espace de Hilbert V , la forme bilinéaire $a(.,.)$ et la forme linéaire L .
3. Vérifier, si possible, les hypothèses du théorème de Lax-Milgram alors il existe une unique solution faible du problème (P) .

Théorème 1.2 (Lax-Milgram). Soit V un espace de Hilbert : $(V, \langle ., . \rangle)$.

Supposons que : $a(.,.) : V \times V \rightarrow \mathbb{R}$ est une forme bilinéaire, et $L : V \rightarrow \mathbb{R}$ une forme linéaire, telles que :

1. $a(.,.)$ est continue : $\exists c > 0$, tel que $\forall a(u, v) \in V$, on a $|a(u, v)| \leq c \|u\| \cdot \|v\|$
2. $a(.,.)$ est coercive : $\exists \alpha > 0$, tel que $\forall u \in V$, on a $a(u, u) \geq \alpha \|u\|^2$
3. L est continue (donc bornée) : $\exists M > 0$, tel que $\forall u \in V : |L(u)| \leq M \|u\|$

Alors, il existe un unique $u \in V$ tel que $\forall v \in V$, on a $a(u, v) = L(v)$.

1.4 Comment l'utiliser

1.4.1 Principe de fonctionnement de FreeFem++

1. Génère des maillages.
2. Construire automatiquement la matrice M (appelée Matrice Masse/ Rigide).
3. Construire automatiquement un deuxième membre.
4. Utiliser plongeurs solveurs linéaires (intégrés).
5. Travailler sur des problèmes 2D ou 3D.
6. Générer des graphiques/textes/fichiers.

1.4.2 Commandes de base

1. Déclaration de variable.
2. Définir le domaine.
3. Définir le maillage.

1.4.3 Quelques commandes

. **A propos des maillages :**

`mesh` = type pour ... mailles ;
`square` = pour créer des maillages structurés ;
`savemesh` = enregistrer un maillage dans un fichier ;
`readmesh` = lire le maillage précédemment sauvegardé ;
`border` = type pour les courbes paramétrées ;
`buildmesh` = construire un maillage avec des frontières paramétrées ;
`adaptmesh` = raffiner un maillage .

. **A propos des formulations variationnelles :**

`fespace` = type pour les espace d'éléments finis ;
`problem` = type pour un problème variationnel ;
`P1,P2,P3` = éléments de Lagrange ;
`int2d` = intégration sur un domaine ;
`int1d` = intégration sur une partie de la frontière ;
`on` = pour un poser des conditions aux limites ;
`func` = type pour une fonction de x et y ;
`int` = type pour les entiers ;
`plot` = just deviner ;
`include` = pour inclure un script dans un autre ;
`ofstream` = pour diriger la sortie vers un fichier ;
`ifstream` = pour obtenir l'entrée d'un fichier ;

. **Divers :**

`macro` = pour définir une macro, se termine par un commentaire ;
`for` = pour faire une boucle ;
`[P1, P1]` = produit des espaces Éléments Finis ;
`P0` = Éléments Finis ;
`movemesh` = déplacer un maillage ;

`init` = construire la matrice ou non ;
`real` = type pour les réels ;
`fill` = remplir entre les isolignes ;
`cmm` = commentaires pour le tracé ;
`wait` = attendre avant le prochain tracé ;
`u[]` = si u est un élément fini, renvoie les valeurs de u à chaque degré de liberté .

Remarque 1.4. Toutes les commandes sont finies par point vergule(`;`).

1.4.4 Comment l'utiliser

1. Utiliser un éditeur de texte pour écrire votre script.
2. L'enregistrer à l'extension de fichier `.edp(toto.edp)`.
3. L'exécuter en cliquant sous dessus Windows (aussi MacOS), ou en exécutant la commande `FreeFem++toto.edp` sous Linux.

Remarque 1.5. Comme la plupart des logiciels, une documentation complète et de nombreux exemples sont inclus dans FreeFem++.

1.4.5 Liste des types des éléments finis

`[P0]` : élément fini discontinu constant par morceaux ($2d$, $3d$, surface $3d$) , les degrés de liberté sont les valeurs de l'élément barycentre.

$$\mathbb{P}_h^0 = \{v \in L^2(\Omega) | \forall k \in \mathcal{T}_h, \exists \alpha_k \in \mathbb{R} : v|_k = \alpha_k\}$$

`[P1]` : élément fini continu linéaire par morceaux ($2d$, $3d$, surface $3d$) , les degrés de liberté sont des valeurs sommets.

$$\mathbb{P}_h^1 = \{v \in H^1(\Omega) | \forall k \in \mathcal{T}_h, v|_k \in P_1\}$$

`[P1dc]` : élément fini discontinu linéaire par morceaux ($2d$, $3d$ avec charge "Element_ P1dc").

$$\mathbb{P}_{dc|h}^1 = \{v \in L^2(\Omega) | \forall k \in \mathcal{T}_h, v|_k \in P_1\}$$

`[P1b]` : élément fini continu linéaire par morceaux plus bulle ($2d$, $3d$).

cas de $2D$:

$$\mathbb{P}_{b|h}^1 = \{v \in H^1(\Omega) | \forall k \in \mathcal{T}_h, v|_k \in P_1 \oplus \text{Span}\{\lambda_0^k \lambda_1^k \lambda_2^k\}\}$$

cas de $3D$:

$$\mathbb{P}_{b|h}^1 = \{v \in H^1(\Omega) | \forall k \in \mathcal{T}_h, v|_k \in P_1 \oplus \text{Span}\{\lambda_0^k \lambda_1^k \lambda_2^k \lambda_3^k\}\}$$

Où $\lambda_i^k, i = 0, \dots, d$ sont des fonctions de coordonnées barycentriques $d + 1$ d'élément K (triangle ou tétraédre) .

`[P1b1, P1b13d]` : élément fini continu linéaire par morceaux plus bulle linéaire (avec charge "Element _ P1b12d, 3d". La bulle est construite en divisant le K , un barycentre en sous-élément $d + 1$. (besoin de charger "Element_ P1b1").

`[P2, P2]` : élément fini continu P_2 par morceaux ($2d$, $3d$, surface $3d$) .

$$\mathbb{P}_h^2 = \{v \in H^1(\Omega) | \forall k \in \mathcal{T}_h, v|_k \in P_2\}$$

`[P2b, P2b3d]` :

cas de $2D$:

$$\mathbb{P}_{b|h}^2 = \{v \in H^1(\Omega) | \forall k \in \mathcal{T}_h, v|_k \in P_2 \oplus \text{Span}\{\lambda_0^k \lambda_1^k \lambda_2^k\}\}$$

cas de $3D$:

$$\mathbb{P}_{b|h}^2 = \{v \in H^1(\Omega) | \forall k \in \mathcal{T}_h, v|_k \in P_2 \oplus \text{Span}\{\lambda_0^k \lambda_1^k \lambda_2^k \lambda_3^k\}\}$$

[P2dc] : élément fini discontinu P_2 par morceaux ($2d$).

$$\mathbb{P}_{dc|h}^2 = \{v \in L^2(\Omega) | \forall k \in \mathcal{T}_h, v|_k \in P_2\}$$

[P2h] : continu homogène quadratique (sans P_1) .

[P3] : élément fini continu P_3 par morceaux ($2d$). (nécessite la charge "Element_ P3").

$$\mathbb{P}_h^3 = \{v \in H^1(\Omega) | \forall k \in \mathcal{T}_h, v|_k \in P_3\}$$

[P3dc] : élément fini discontinu P_3 par morceaux ($2d$) (nécessite la charge "Element_ P3dc") .

$$\mathbb{P}_{dc|h}^3 = \{v \in L^2(\Omega) | \forall k \in \mathcal{T}_h, v|_k \in P_3\}$$

[P4] : élément fini continu P_4 par morceaux ($2d$) (nécessite la charge "Element_ P4").

$$\mathbb{P}_h^4 = \{v \in H^1(\Omega) | \forall k \in \mathcal{T}_h, v|_k \in P_4\}$$

[P4dc] : élément fini discontinu P_4 par morceaux ($2d$) (nécessite la charge "Element_ P4dc").

$$\mathbb{P}_{dc|h}^4 = \{v \in L^2(\Omega) | \forall k \in \mathcal{T}_h, v|_k \in P_4\}.$$

Où :

- P_1 est l'ensemble des polynômes dans \mathbb{R}^2 de degré ≤ 1 .
- P_2 est l'ensemble des polynômes dans \mathbb{R}^2 de degré ≤ 2 .
- P_3 est l'ensemble des polynômes dans \mathbb{R}^2 de degré ≤ 3 .
- P_4 est l'ensemble des polynômes dans \mathbb{R}^2 de degré ≤ 4 .

1.5 Généralités sur les équations aux dérivées partielles

Définition 1.2. Une EDP est une relation entre l'inconnue u sur $\Omega \subset \mathbb{R}^N$ et les variables x_1, x_2, \dots, x_N et les dérivées partielles de u .

La forme générale d'une EDP peut s'écrire :

$$F \left(u, \frac{\partial u}{\partial x_1}, \dots, \frac{\partial u}{\partial x_N}, \frac{\partial^2 u}{\partial x_1^2}, \dots, \frac{\partial^m u}{\partial x_N^m} \right) (x) = h(x) \quad (1.5)$$

Chaque fonction vérifie la relation 1.5 s'appelle une solution à 1.5.

Exemple 1.1. $\frac{\partial^2 u}{\partial x^2} - \frac{\partial^2 u}{\partial y^2} = 0 \quad \Omega \subset \mathbb{R}^2$

$u(x, y) = (x + y)$ est une solution à l'équation si-dessus.

Définition 1.3. L'ordre d'une EDP c'est l'ordre le plus élevé de la dérivée partielle de la relation 1.5.

Exemple 1.2. $\frac{\partial u}{\partial x} - \frac{\partial^2 u}{\partial x \partial y} = 1$ l'ordre= 2

$\left(\frac{\partial u}{\partial x}\right)^2 - \frac{\partial u}{\partial x} = x \sin(x - y)$ l'ordre= 1

Définition 1.4. On dit qu'une EDP est **linéaire** si et seulement si l'équation peut s'écrire comme : $L(u) = f(x)$ et L une opérateur linéaire par rapport à u et ses dérivées partielles.

Exemple 1.3. 1. $\frac{\partial^2 u}{\partial x^2} - \frac{\partial u}{\partial y} + u - 6xy = 0$ $L(u) = \frac{\partial^2 u}{\partial x^2} - \frac{\partial u}{\partial y} + u$
cette EDP est linéaire, $\forall u, v, \forall \alpha, \beta \in \mathbb{R}$:

$$\begin{aligned} L(\alpha u + \beta v) &= \alpha \frac{\partial^2 u}{\partial x^2} + \beta \frac{\partial^2 v}{\partial x^2} - \left(\alpha \frac{\partial u}{\partial y} + \beta \frac{\partial v}{\partial y} \right) + \alpha u + \beta v \\ &= \alpha \left(\frac{\partial^2 u}{\partial x^2} - \frac{\partial u}{\partial y} + u \right) + \beta \left(\frac{\partial^2 v}{\partial x^2} - \frac{\partial v}{\partial y} + v \right) \\ &= \alpha L(u) + \beta L(v) \end{aligned}$$

2. $u \frac{\partial^2 u}{\partial x^2} = 1 - x$ (non linéaire).

Définition 1.5 (Conditions aux limites). .

- Une condition de **Dirichlet** est une condition où on impose la valeur de u sur $\partial\Omega$ (le bord)(condition du type 1).
- Une condition de **Neumann** est une condition où on impose la valeur de la dérivée normale de u sur $\partial\Omega$ (le bord) c'est-à-dire la valeur de $\frac{\partial u}{\partial x}$ sur $\partial\Omega$ (condition du type 2).
- Une condition de **Fourier Robin** est une condition où on impose une relation entre les conditions de Dirichlet et Neuman (condition du type 3)

1.5.1 EDP du second ordre dans \mathbb{R}^N

Une EDP linéaire du second ordre dans \mathbb{R}^N s'écrit sous la forme générale suivante :

$$\sum_{i,j=1}^N a_{ij}(X) \frac{\partial^2 u}{\partial x_i \partial x_j} + \sum_{i=1}^N f_i(X) \frac{\partial u}{\partial x_i} + g(X) = h(X)$$

$X = (x_1, x_2, \dots, x_N) \in \mathbb{R}^N$ où $A = (a_{ij})_{1 \leq i, j \leq N}$ est par convention est **symétrique**.

Par exemple dans \mathbb{R}^2

$$a_{11} \frac{\partial^2 u}{\partial x^2} + 2a_{12} \frac{\partial^2 u}{\partial x \partial y} + a_{22} \frac{\partial^2 u}{\partial y^2} + f_1 \frac{\partial u}{\partial x} + f_2 \frac{\partial u}{\partial y} + gu = h$$

En générale :

$$a(x, y) \frac{\partial^2 u}{\partial x^2} + 2b(x, y) \frac{\partial^2 u}{\partial x \partial y} - c(x, y) \frac{\partial^2 u}{\partial y^2} + d(x, y) \frac{\partial u}{\partial x} + e(x, y) \frac{\partial u}{\partial y} + g(x, y)u = h(x, y)$$

$A = \begin{pmatrix} a(x, y) & b(x, y) \\ b(x, y) & c(x, y) \end{pmatrix}$ la matrice symétrique.

1.5.2 Classification d'une EDP linéaire dans \mathbb{R}^N

(Dans \mathbb{R}^N)

- . EDP est **elliptique** si et seulement si toutes les valeurs propres de A sont non nulles et de même signe.
- . EDP est **hyperbolique** si et seulement si toutes les valeurs propres de A sont non nulles et de même signe sauf une valeur de signe opposé.
- . EDP est **parabolique** si et seulement si toutes les valeurs propres de A sont non nulles et de même signe et une valeur est nulle.

Cas particulier : (pour $N = 2$)

- . Si $b^2 - ac < 0$, l'EDP est elliptique.
- . Si $b^2 - ac > 0$, l'EDP est hyperbolique.
- . Si $b^2 - ac = 0$, l'EDP est parabolique.

Exemple 1.4. $X = (x, t)$

$$\begin{cases} \frac{\partial^2 u}{\partial t^2} - c^2 \Delta u = 0 \\ \frac{\partial u}{\partial t}(x, 0) = f(x) \\ u(x, t) = f(x) \end{cases} \quad X \in \mathbb{R} \times \mathbb{R}_+^*$$

$$-c^2 \frac{\partial^2 u}{\partial x^2} + (1 - c^2) \frac{\partial^2 u}{\partial t^2} = 0$$

- . Si $c > 1$ notre EDP elliptique.
- . Si $c < 1$ notre EDP hyperbolique.
- . Si $c \in \{-1, 0, 1\}$ l'EDP parabolique.

Chapitre 2

Problèmes stationnaires

Dans ce chapitre on va exprimer comment résoudre les équations et les problèmes différentielles stationnaires par FreeFem++.

Nous avons donné aussi quelques exemples d'EDP avec des conditions différentes.

On va exprimer pour trouver la solution d'EDP par FreeFem++, on va définir la frontière du domaine d'étude du problème par des courbes, après on choisissant une discrétisation de courbe qui détermine la frontière. Cette frontière, celle-ci décrit une surface en maille la pour obtenir un maillage approprié.

2.1 Les étapes du solution par FreeFem++

2.1.1 Construction du maillage

Définition 2.1 (La frontière). *celle-ci est faite de réunion de courbes fournies sous forme paramétrique.*

(a) **Définition paramétrique de chaque portion de la frontière** : Une courbe

paramétrique étant définie par exemple comme : $[t_i, t_f] \ni t \mapsto \begin{cases} x = f(t) \\ y = g(t) \end{cases}$

(b) **Discrétisation des portions et leurs réunions** : On détermine des plusieurs points sur chaque courbe et on réuni ces portions de courbes pour définir la frontière du domaine.

Ainsi, on peut par exemple dessiner la frontière du domaine ci-dessus par le bout de code.

2.1.2 Maillage de la surface délimitée

On maille la surface décrite par la frontière. Ceci suppose évidemment que la frontière décrite précédemment doit être une courbe fermé orientée de sorte que la surface délimitée se trouve à gauche lorsqu'on parcourt le courbe.

Après, pour définir l'espace d'élément finis on étulise le maillage qui la construit, et on choisit le type d'élément de Lagrange pour préciser l'espace .

Dans l'étape suivante nous avons entré la formulation variationnelle du problème par la commande "int2d " pour intégrer dans le domaine et le "int1d " pour intégrer dans la frontière, et on ajoute les conditions initiales.

2.2 Étude problème de Poisson

C'est l'équation aux dérivées partielles elliptique du second ordre suivante : c'est une distribution généralement donnée.

Remarque 2.1. L'inclusion des conditions aux limites sous la forme variationnelle dans le code FreeFem++ diffère selon la classification des EDP, et se présente comme suite(généralement) :

- . Une forme scalaire "on"(pour Dirichlet)

```
1 on(label, la condition)
```

- . Une forme linéaire sur Γ (pour Neuman dans 2D)

```
1 -int1d(le maillage) (la condition)
```

ou

```
1 -int1d(le maillage, label) (la condition)
```

- . Une forme bilinéaire sur Γ (pour Robin dans 2D)

```
1 int1d(le maillage) (la condition)
```

ou

```
1 int1d(le maillage, label) (la condition)
```

Comme on va voir plus tard.

2.2.1 Conditions aux limites de Dirichlet "homogène"

$$\begin{cases} -\Delta u = f & \text{sur } \Omega \\ u = 0 & \text{sur } \partial\Omega \end{cases} \quad (2.1)$$

On va trouver $u \in H_0^1(\Omega)$ tel que $a(u, v) = l(v), \forall v \in H_0^1(\Omega)$
 $a(u, v)$ est une forme bilinéaire continue et coercive sur $H_0^1(\Omega) \times H_0^1(\Omega)$
 et $L(v)$ est une forme linéaire continue sur $H_0^1(\Omega)$

on a :

$$-\Delta u = f, \text{ soit } v \in H_0^1(\Omega)$$

Nous multiplions les deux cotés par v après nous intégrons sur Ω

$$-\Delta u \cdot v = f \cdot v$$

$$\text{alors, } \int_{\Omega} -\Delta u \cdot v dx = \int_{\Omega} f \cdot v dx$$

maintenant nous avons utiliser la formule de Green, alors on a :

$$\int_{\Omega} -\Delta u \cdot v dx = \int_{\Omega} \nabla u \nabla v dx - \int_{\partial\Omega} \frac{\partial u}{\partial n} v d\sigma$$

tel que $\sigma \in \partial\Omega$ et \vec{n} : c'est le vecteur normale unitaire exterieur à Ω

$$\text{c'implique } \int_{\Omega} \nabla u \nabla v dx - \int_{\partial\Omega} \frac{\partial u}{\partial n} v d\sigma = \int_{\Omega} f \cdot v dx$$

Car, $u = 0$ sur $\partial\Omega$ alors, $\int_{\partial\Omega} \frac{\partial u}{\partial n} v d\sigma = 0$

$$\text{donc, } \int_{\Omega} \nabla u \nabla v dx = \int_{\Omega} f \cdot v dx$$

Prend $a(u, v) = \int_{\Omega} \nabla u \nabla v dx$ et $l(v) = \int_{\Omega} f \cdot v dx$

Exemple 2.1. Considérons le problème suivant :

$$\begin{cases} -\Delta u = f & \text{sur } \Omega =]0, 1[\times]0, 1[\\ u = 0 & \text{sur } \partial\Omega = \{0, 1\} \times [0, 1] \cup [0, 1] \times \{0, 1\} \end{cases} \quad (2.2)$$

tel que $f = \cos(x)y$.

La formulation variationnelle de ce problème est :

$$\int_{\Omega} \nabla u \nabla v dx = \int_{\Omega} f \cdot v dx$$

On va résoudre ce problème par FreeFem++ :

1. on va construire le maillage :
Comme le bord est un carré on définit la frontière par "square", et on choisit le nombre de noeuds sur la frontière (on tend à faire la discrétisation de la frontière 10) pour obtenir le maillage .
(ligne 1)
2. On définit l'espace d'éléments finis :
On va prendre les éléments de cet espace comme des polynômes de Lagrange de degré ≤ 1 .
3. On définit le problème, et on l'égalise sous sa formulation variationnelle .
4. On ajoute les conditions aux limites, dans ce cas : condition de Dirichlet .
5. Pour résoudre le problème il suffit de décrire son nom suivi de point-virgule.

Le code de ce problème

```

1 mesh Sh= square(10,10) ; // génération du maillage de surface
2 fespace Vh(Sh,P1) ; // espace de P1 élément fini (On utilise le maille du
  carre et l'élément fini P1)
3 Vh u,v ; // u et v des éléments dans Vh
4 func f=cos(x)*y ; // f est la fonction du variables x et y
5 problem Poisson(u,v)= // Définition de problème
6 int2d(Sh) (dx(u)*dx(v)+dy(u)*dy(v)) // form bilinéaire
7 -int2d(Sh) (f*v) // form linéaire
8 +on(1,2,3,4,u=0) ; // Conditions de Dirichlet

```

```

9 Poisson ; // Solution de problème de Poisson
10 plot(Sh) ; //Dessin du maillage
11 plot(u) ; // Dessin de la solution

```

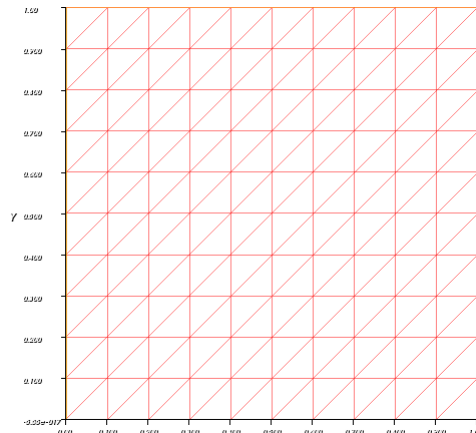


FIGURE 2.1 – Maillage

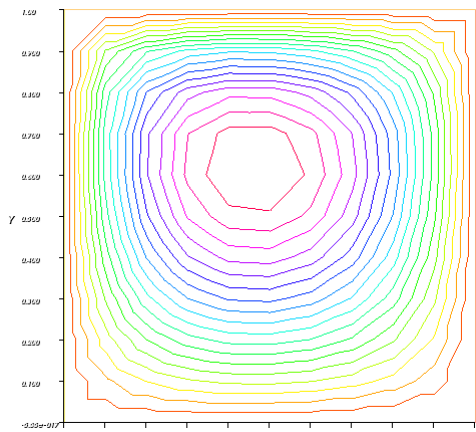


FIGURE 2.2 – Solution en utilisant P1

Remarque 2.2. Quand on utilise les polynômes de Lagrange de degré plus grand, on obtient une solution plus exacte. Par exemple on change P1 par P2 dans la ligne 2 on obtient la solution comme suite

```

1 fespace Vh(Sh,P2) ; // espace de P2 élément fini

```

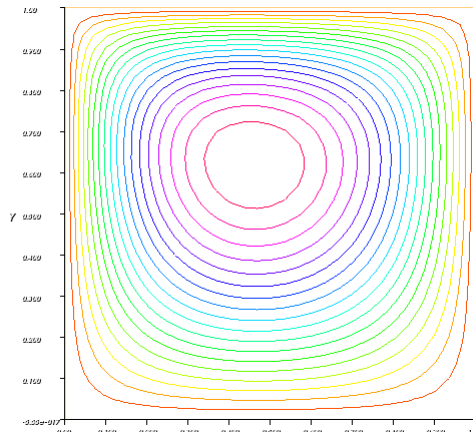


FIGURE 2.3 – Solution en utilisant P2

Exemple 2.2. Dans le même problème quand on change la surface d'étude par le disque unité, alors on va définir le bord par une courbe paramétrique. Autrement dit, on va écrire l'équation de la frontière de disque.

Pour préciser le bord et construire le maillage dans Freefem++ il faut :

1. définir les courbes et leur donner leurs noms .
2. préciser le domaine de t .
3. écrire x et y en fonction de t .
4. définir le bord par la commande "border" comme suivant :

```
1 border nom de courbe (t= t0 , T) { x= x(t); y= y(t);};
```

Pour construire le maillage on utilise la commande "buildmesh", on écrit :

```
1 mesh nom de maillage = buildmesh (nom de courbe (z) );
```

tel que z est le nombre de noeuds sur le bord.

Le code de ce problème

```
1 border h(t=0,2*pi) { x=cos(t); y=sin(t);}; //le bord de domaine
2 mesh Th=buildmesh(h(30)); // maillage de 30 points dans le bord
3 fespace Vh(Th,P1) ; // espace de P1 élément fini
4 Vh u,v ; //u et v des éléments dans Vh
5 func f=cos(x)*y ; // f est la fonction du variables x et y
6 problem Poisson(u,v)= // Définition de problème
7 int2d(Th) (dx(u)*dx(v)+dy(u)*dy(v)) // form bilinéaire
8 -int2d(Th) (f*v) // form linéaire
9 +on(h,u=0) ; // Conditions de Dirichlet
10 Poisson ; // Solution de problème de Poisson
11 plot(Th) ; // Dessin de maillage
12 plot(u) ; // Dessin de la solution
```

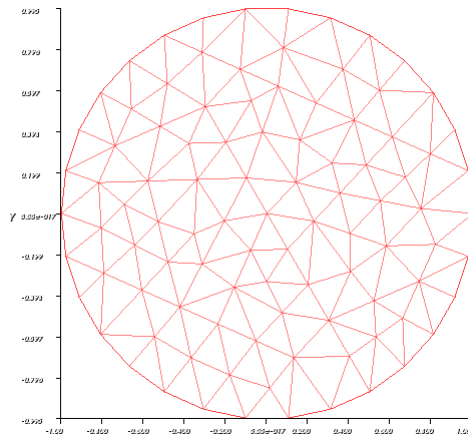


FIGURE 2.4 – Maillage avec 30 points dans le bord

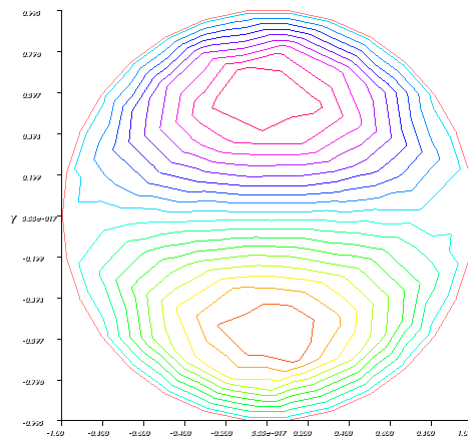


FIGURE 2.5 – Solution avec 30 points dans le bord

Remarque 2.3. Quand on maille à plus de points, on obtient une solution plus précise.

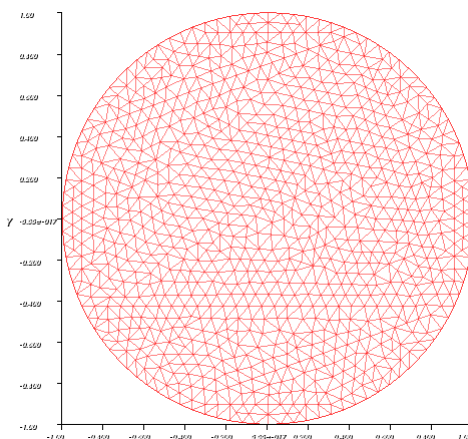


FIGURE 2.6 – Maillage avec 100 points dans le bord

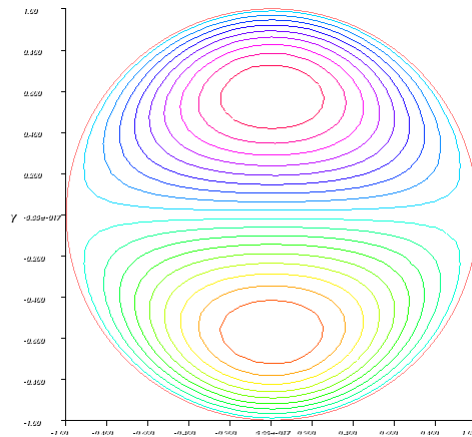


FIGURE 2.7 – Solution avec 100 points dans le bord

Exemple 2.3. Par la même méthode on précise la frontière. Mais on définit chaque bord individuellement.

Pour construire le maillage on utilise la commande "buildmesh" et on fait la somme des bords avec le nombre de noeuds dans chaque bord.

La division de la frontière n'a pas nécessaire régulière.

Le code de ce problème

```

1 // Maillage
2  border a0(t=0., 1.){ x=5.; y=1.+2.*t; };
3  border a1(t=0., 1.){ x=5.-2.*t; y=3.; };
4  border a2(t=0., 1.){ x=3.-2.*t; y=3.-2.*t; };
5  border a3(t=0., 1.){ x=1.-t; y=1.; };
6  border a4(t=0., 1.){ x=0.; y=1.-t; };
7  border a5(t=0., 1.){ x=t; y=0.; };
8  border a6(t=0., 1.){ x=1.+4.*t; y=t; };
9  mesh Sh = buildmesh(a0(20) + a1(20) + a2(20)
10 + a3(20) + a4(20) + a5(20) + a6(20));
11 fespace Vh(Sh,P1) ; // espace de P1 élément fini
12 Vh u,v ; // u et v des éléments dans Vh
13 func f=cos(x)*y ; // f est la fonction du variables x et y
14 problem Poisson(u,v)= // Définition de problème
15 int2d(Sh) (dx(u)*dx(v)+dy(u)*dy(v)) // form bilinéaire
16 -int2d(Sh) (f*v) // form linéaire
17 +on(a0,a1,a2,a3,a4,a5,a6,u=0) ; // Conditions de Dirichlet
18 Poisson ; // Solution de problème de Poisson
19 plot(Sh) ; // Dessin de maillage
20 plot(u) ; // Dessin de la solution

```

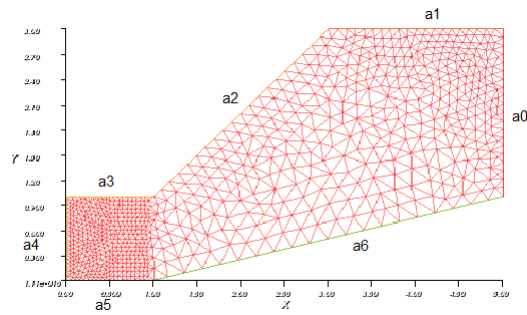


FIGURE 2.8 – Maillage

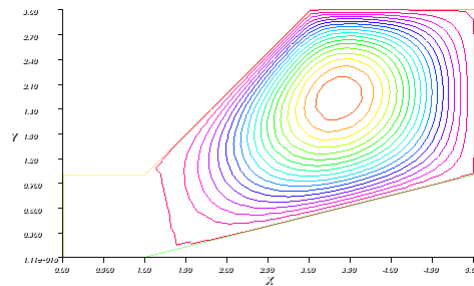


FIGURE 2.9 – Solution

Remarque 2.4. La condition aux limites de Dirichlet est imposée sur toute la frontière, si la condition n'était pas la même sur chaque frontière, on aurait pu remplacer la ligne 17 par :

```
1 +on(a0,u=4)+on(a1,u=7)+on(a2,u=2)+on(a3,u=5)+on(a4,u=1)+on(a5,u=3)
2 +on(a6,u=6); // condition de Dirichlet
```

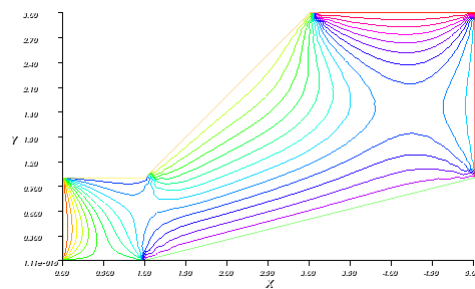


FIGURE 2.10 – Solution avec maillage irrégulier

2.2.2 Conditions aux limites de Neumann

On considère le problème suivant :

$$\begin{cases} -\Delta u + u = f & \text{dans } \Omega \\ \frac{\partial u}{\partial n} = 0 & \text{sur } \partial\Omega \end{cases} \quad (2.3)$$

Pour trouver la formulation variationnelle on multiplie l'équation 2.3 par une fonction test régulière v et on intègre par parties en admettant que la solution u est suffisamment régulière, on obtient

$$-\int_{\Omega} \Delta u v dx + \int_{\Omega} u v dx = \int_{\Omega} f v dx$$

d'où, en utilisant la formule de Green

$$-\int_{\partial\Omega} \frac{\partial u}{\partial n} v d\sigma + \int_{\Omega} \nabla u \cdot \nabla v dx + \int_{\Omega} u v dx = \int_{\Omega} f v dx$$

ce qui fait, en tenant compte de la condition au bord

$$\int_{\Omega} \nabla u \cdot \nabla v dx + \int_{\Omega} u v dx = \int_{\Omega} f v dx.$$

où

$$a(u, v) = \int_{\Omega} \nabla u \cdot \nabla v dx + \int_{\Omega} u v dx \quad \text{et} \quad l(v) = \int_{\Omega} f v dx.$$

Théorème 2.1. [8] Soit Ω un ouvert et l un élément du dual de $H^1(\Omega)$, alors il existe une solution unique au problème

$$\begin{cases} \text{Trouver } u \in H^1(\Omega) \text{ tel } \forall v \in H^1(\Omega) \\ \int_{\Omega} \nabla u \cdot \nabla v(x) dx + \int_{\Omega} u v(x) dx = l(v). \end{cases} \quad (2.4)$$

De plus, si Ω est de classe C^2 avec $\partial\Omega$ borné et si $f \in L^2(\Omega)$, alors $u \in H^2(\Omega)$ et vérifie

$$-\Delta u + u = f \quad \text{p.p dans } \Omega$$

et

$$\frac{\partial u}{\partial n} = 0 \quad \text{sur } \partial\Omega$$

au sens des traces.

Exemple 2.4. On a le problème suivant :

$$\begin{cases} -\Delta u = f & \text{sur } \Omega \\ \frac{\partial u}{\partial n} = g & \text{sur } \partial\Omega \end{cases} \quad (2.5)$$

la formulation variationnelle est

$$-\int_{\partial\Omega} \frac{\partial u}{\partial n} v d\sigma + \int_{\Omega} \nabla u \cdot \nabla v dx = \int_{\Omega} f v dx$$

$$\text{c'implique } -\int_{\partial\Omega} g v d\sigma + \int_{\Omega} \nabla u \cdot \nabla v dx = \int_{\Omega} f v dx$$

tel que : $f = \cos(x)y$ $g = 1$.

Le code de ce problème

```

1 // omega est un disque avec deux trou
2 int Neumann=1;
3 border C0(t=0, 2*pi){ x=5*cos(t); y=5*sin(t);label=Neumann;};
4 border C1(t=0, 2*pi){ x=2+0.3*cos(t); y=3*sin(t);label=Neumann;};
5 border C2(t=0, 2*pi){ x=-2+0.3*cos(t); y=3*sin(t);label=Neumann;};
6 mesh Th = buildmesh(C0(60) +C1(-50) + C2(-50));
7 plot(Th);
8 fespace Vh(Th,P1);
9 Vh u,v;
10 func f=cos(x)*y; func g=1.;
11 problem Poisson(u,v)=
12 int2d(Th) (dx(u)*dx(v)+dy(u)*dy(v))
13 -int1d(Th,Neumann) (g*v) //Forme linéaire sur  $\partial\Omega$  pour Neumann
14 -int2d(Th) (f*v);
15 Poisson;
16 plot(u);

```

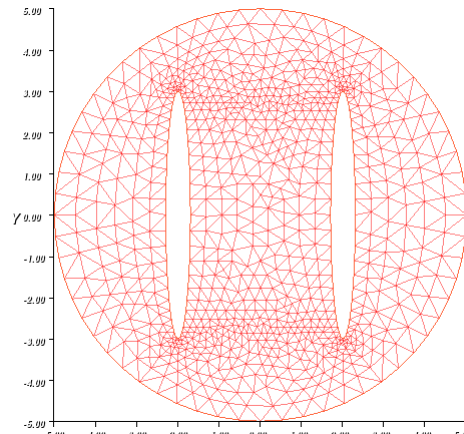


FIGURE 2.11 – Maillage

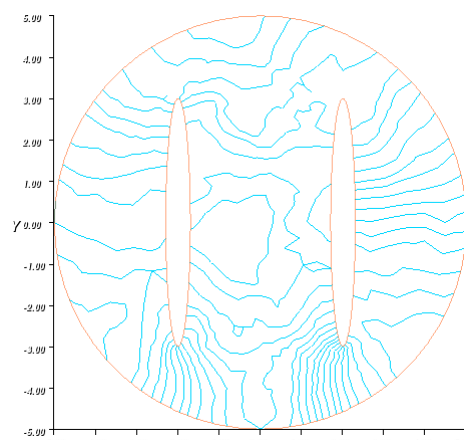


FIGURE 2.12 – Solution en utilisant P1

Remarque 2.5. .

1. Les éléments finis P3 ne sont pas disponibles par défaut. Il faut les charger d'abord (en fait, vous pouvez même définir vos propres éléments) par la commande "load" au début de code et on change P1 par P3 dans la ligne 6 comme suite :

```

1 load "Element_P3" ;
2 .....
3 fespace Vh(Th,P3) ;

```

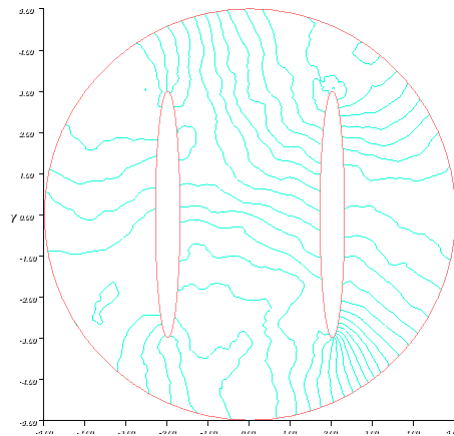


FIGURE 2.13 – Solution en utilisant P3

2. L'élément fini P4 est le plus grand élément pouvant être utilisé dans Freefem++.

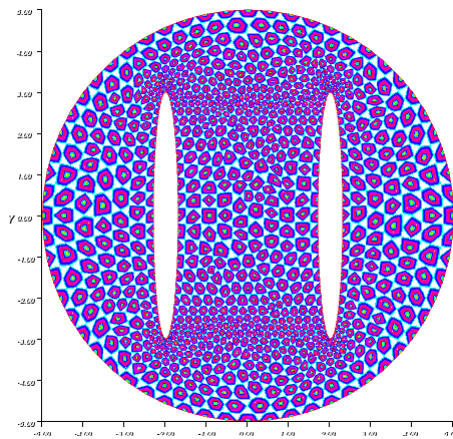


FIGURE 2.14 – Solution en utilisant P4

3. Si on charge P5, le code n'exécute pas et Freefem++ affiche l'erreur suivant :

```

-- FreeFem++ v 3.260003 (date jeu. 16 janv. 2014 15:52:04)
Load: lg_fem lg_mesh lg_mesh3 eigenvalue
  1 : load "Element_P5"
load error : Element_P5
  fail :
list prefix: 'C:\Users\windows7\FreeFem++-cs-14.3\Contents\Windows\' list suffix: ",.dll"

Error line number 1, in file C:\Users\windows7\AppData\Local\Temp\ffcs9836.edp, before token Element_P5
Error load
  current line = 1
Compile error : Error load
  line number :1, Element_P5
error Compile error : Error load
  line number :1, Element_P5
code = 1 mpirank: 0
FreeFem++ returned error 1

```

FIGURE 2.15 – Affichage d’erreur

2.2.3 Conditions aux limites mixtes

FreeFem++ nous permet d’inclure les conditions aux limites de Dirichlet et de Neumann ensemble, comme dans les exemples suivants :

Exemple 2.5. On considère le problème suivant :

$$\begin{cases} -\Delta u = f & \text{sur } \Omega \\ \frac{\partial u}{\partial n} = g & \text{sur } \Gamma_N \\ u = u_D & \text{sur } \Gamma_D \end{cases} \quad (2.6)$$

La formulation variationnelle est :

$$-\int_{\Gamma_D} u_D v d\sigma + \int_{\Gamma_N} g v d\sigma + \int_{\Omega} \nabla u \cdot \nabla v dx = \int_{\Omega} f v dx.$$

tel que : $f = \cos(x)y$ $g = 1$ $u_D = x$.

On choisit un domaine L-forme.

Le code de ce problème

```

1 int Dirichlet=1,Neumann=2; // Pour label définition
2 border a(t=0,1.0){x=t; y=0; label=Neumann;};
3 border b(t=0,0.5){x=1; y=t; label=Neumann;};
4 border c(t=0,0.5){x=1-t; y=0.5;label=Neumann;};
5 border d(t=0.5,1){x=0.5; y=t; label=Dirichlet;};
6 border e(t=0.5,1){x=1-t; y=1; label=Dirichlet;};
7 border h(t=0.0,1){x=0; y=1-t;label=Dirichlet;};
8 plot(a(6) + b(4) + c(4) +d(4) + e(4) + f(6),wait=1);
9 mesh Sh =buildmesh(a(6) + b(4) + c(4) +d(4) + e(4) + f(6));
10 fespace Vh(Sh,P1);
11 Vh u,v;
12 func f=cos(x)*y;func ud=x; func g=1.;
13 problem Poisson(u,v)=
14 int2d(Sh) (dx(u)*dx(v)+dy(u)*dy(v))
15 +int1d(Sh,Neumann) (g*v)
16 -int2d(Sh) (f*v)
17 +on(Dirichlet,u=ud); // u=ud on label=Dirichlet=1
18 Poisson;
19 plot(Sh);
20 plot(u);

```

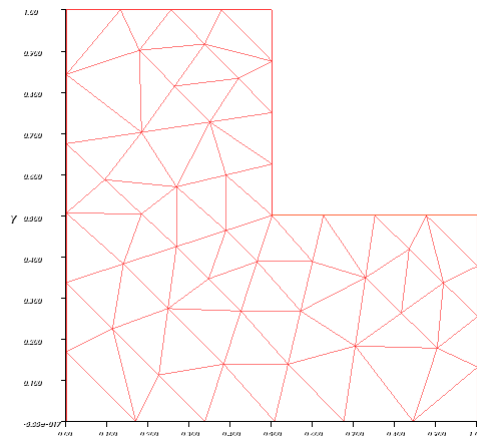


FIGURE 2.16 – Maillage

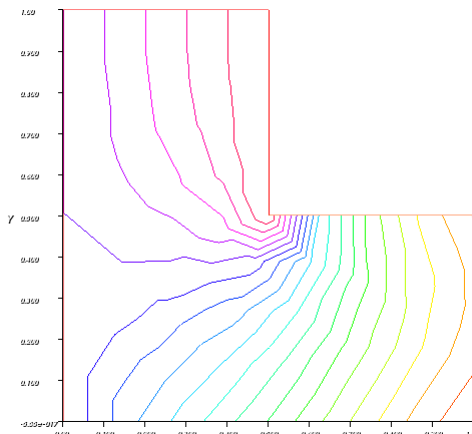


FIGURE 2.17 – Solution avec C.L. mixtes

Remarque 2.6. .

1. Si les bordures ne sont pas fermées (ici l'erreur dans le bord b)

```

1 int Dirichlet=1,Neumann=2; // For label définition
2 border a(t=0,1.0){x=t; y=0; label=Neumann;};
3 border b(t=0,0.4){x=1; y=t; label=Neumann;};
4 border c(t=0,0.5){x=1-t; y=0.5;label=Neumann;};
5 border d(t=0.5,1){x=0.5; y=t; label=Dirichlet;};
6 border e(t=0.5,1){x=1-t; y=1; label=Dirichlet;};
7 border h(t=0.0,1){x=0; y=1-t;label=Dirichlet;};
8 plot(a(6) + b(4) + c(4) +d(4) + e(4) + f(6),wait=1);
9 mesh Sh =buildmesh(a(6) + b(4) + c(4) +d(4) + e(4) + f(6));
10 fespace Vh(Sh,P1);
11 Vh u,v;
12 func f=cos(x)*y;func ud=x; func g=1.;
13 problem Poisson(u,v)=
14 int2d(Sh) (dx(u)*dx(v)+dy(u)*dy(v))
15 +int1d(Sh,Neumann)(g*v)
16 -int2d(Sh)(f*v)
17 +on(Dirichlet,u=ud); // u=ud on label=Dirichlet=1
18 Poisson;
19 plot(Sh);

```

```
20 plot(u);
```

le maillage et la solution n'apparaissent pas.

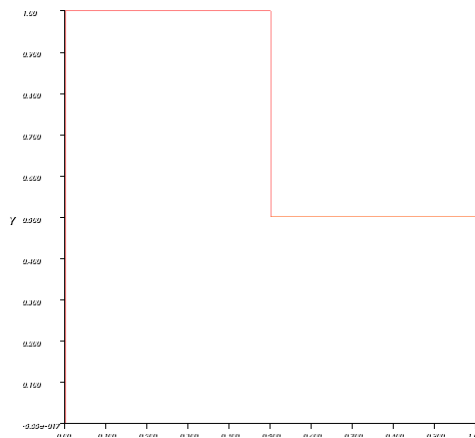


FIGURE 2.18 – Solution avec bordures ne sont pas fermés

FreeFem++ affiche l'erreur suivante :

```
error : 56 0 56
Error: The boundary is not close => All triangles are outside
Fatal error in the meshgenerator 888
current line = 2
Meshing error: Bang
number : 888,
catch Err bang
Meshing error: Bang
number : 888,
err code 4 , mpirank 0
FreeFem++ returned error 4
```

FIGURE 2.19 – Affichage d'erreur

2. Si les bordures ne sont pas continues et ne conservent pas la même direction (ici l'erreur dans le bord b)

```
1 int Dirichlet=1,Neumann=2; // For label définition
2 border a(t=0,1.0){x=t; y=0; label=Neumann;};
3 border b(t=0.5,0){x=1; y=t; label=Neumann;};
4 border c(t=0,0.5){x=1-t; y=0.5;label=Neumann;};
5 border d(t=0.5,1){x=0.5; y=t; label=Dirichlet;};
6 border e(t=0.5,1){x=1-t; y=1; label=Dirichlet;};
7 border h(t=0.0,1){x=0; y=1-t;label=Dirichlet;};
8 plot(a(6) + b(4) + c(4) +d(4) + e(4) + f(6),wait=1);
9 mesh Sh =buildmesh(a(6) + b(4) + c(4) +d(4) + e(4) + f(6));
10 fespace Vh(Sh,P1);
11 Vh u,v;
12 func f=cos(x)*y;func ud=x; func g=1.;
13 problem Poisson(u,v)=
14 int2d(Sh) (dx(u)*dx(v)+dy(u)*dy(v))
15 +int1d(Sh,Neumann) (g*v)
16 -int2d(Sh) (f*v)
17 +on(Dirichlet,u=ud); // u=ud on label=Dirichlet=1
18 Poisson;
19 plot(Sh);
20 plot(u);
```

le maillage et la solution n'apparaissent pas.

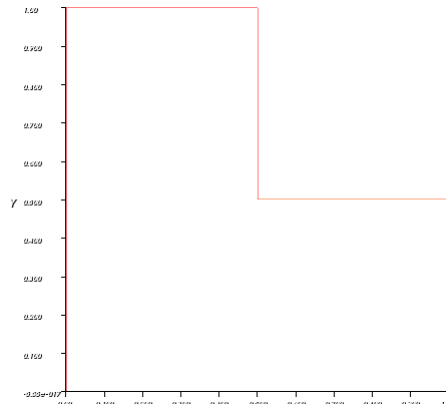


FIGURE 2.20 – Affichage de Freefem

Freefem++ affiche l'erreur suivante :

```
Error in the def of sub domain 4 form border 2/6: Bad sens 18 1
Fatal error in the meshgenerator 777
current line = 2
Meshing error: Bamg
number : 777,
catch Err bamg
Meshing error: Bamg
number : 777,
err code 4 , mpirank 0
FreeFem++ returned error 4
```

FIGURE 2.21 – Affichage d'erreur

Exemple 2.6. On considère le problème suivant :

$$\begin{cases} -\Delta u = f & \text{dans } \Omega \\ u = g & \text{sur } \Gamma_1 \\ \frac{\partial u}{\partial n} = h & \text{sur } \partial\Omega \setminus \Gamma_1 \end{cases} \quad (2.7)$$

La formulation variationnelle est :

$$-\int_{\Gamma_1} g v d\sigma + \int_{\partial\Omega \setminus \Gamma_1} h v d\sigma + \int_{\Omega} \nabla u \cdot \nabla v dx = \int_{\Omega} f v dx.$$

Pour ce problème, on choisit un domaine rectangulaire avec un trou. Le bord Γ_1 jouera le rôle de la frontière intérieure. La fonction f de sorte que l'on connaisse la solution exacte du problème afin de calculer l'erreur L^2 . On choisira donc $f = 5\pi^2 \sin 2\pi x \sin \pi y$ de sorte que la solution est $u = \sin 2\pi x \sin \pi y$ et on choisit $g = h = 0$.

Le code de ce problème

```
1 // Définition des maillages
2 border Gammab( t=0,1){ x=2*t;y=0 ;label=1;};
3 border Gammad( t =0 ,1){ x=2;y=t ; label = 2;};
4 border Gammah( t =0 ,1){ x=2*(1-t) ; y=1; label = 3;};
5 border Gammag( t =0 ,1){ x=0;y=1-t ; label = 4;};
```

```

6 border Gammai( t =0,2* pi ){ x=1+0.5*cos ( t ) ; y=0.5+0.3* sin ( t ) ; label ...
   = 5 ; } ;
7 mesh Th=buildmesh(Gammab( 40 )+Gammad( 20 )+Gammah( 40 )+Gammag( 20 ) ) ;
8 mesh Mh=buildmesh(Gammab( 40 )+Gammad( 20 )+Gammah( 40 )+Gammag( 20 )+
9 Gammai(-30) ) ;
10 plot (Th, ps="maillage . ps" ) ;
11 plot (Mh, ps="maillagetrou . ps " ) ;
12 // Définition des espaces d'approximation
13 fespace Vh(Th, P1 ) ;
14 fespace Wh(Mh, P1 ) ;
15 // Définition des données du problème
16 func f =5*sin ( 2* pi *x ) * sin ( pi *y ) ;
17 func g=0 ;
18 func h=0 ;
19 func u=sin ( 2* pi *x ) * sin ( pi *y ) ;
20 Vh uh , vh , ue ;
21 Wh uuh , vvh ;
22 // Définition du problème variationnel sur Th
23 problem P( uh , vh ) = int2d (Th) ( dx( uh ) *dx( vh )+dy( uh ) *dy( vh ) )
24 - int2d (Th) ( f *vh )
25 + on( 1 , 2 , 3 , 4 , uh=0 ) ;
26 // Définition du problème variationnel sur Mh
27 problem Q( uuh , vvh ) = int2d (Mh) ( dx( uuh ) *dx( vvh )+dy( uuh ) *dy( vvh ) )
28 - int2d (Mh) ( f *vvh )
29 - intl1d (Mh, 1 , 2 , 3 , 4 ) ( h*vvh )
30 + on( 5 , uuh=g ) ;
31 // Résolution des problèmes variationnels
32 P ;
33 Q ;
34 // Calcule l'erreur  $L^2$  pour le problème P
35 ue=u ;
36 real erreur=int2d (Th) ( ( ue-uh ) *( ue-uh ) ) ;
37 string legende ="erreur = "+erreur ;
38 // Affichage des solutions
39 plot ( uh , cmm=legende , wait=true , ps="lapdirichlet . ps " ) ;
40 plot ( uuh , wait=true , fill =1,value=true , ps="lapneumanntrou . ps " ) ;

```

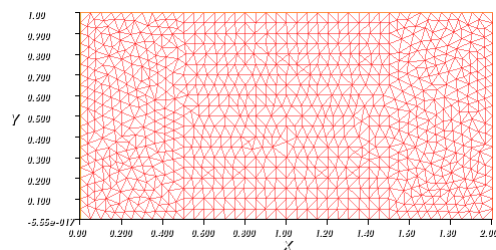


FIGURE 2.22 – Maillage Th

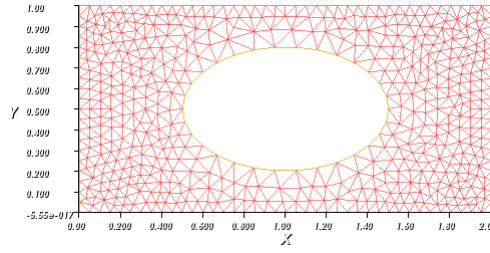
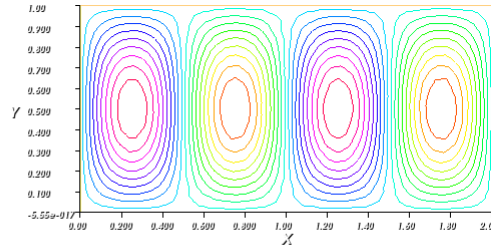


FIGURE 2.23 – Maillage Mh



erreur = 0.396508

FIGURE 2.24 – Calculer l'erreur pour problème P

Remarque 2.7. .

1. L'erreur est calculée et écrite dans la console.
2. Les résultats sont comparés à la solution exacte et représentés en termes de contours dans 2.6.

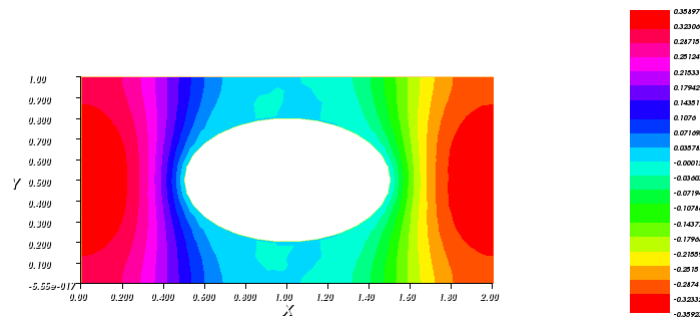


FIGURE 2.25 – Solutions

Remarque 2.8. .

1. Pour donner une référence (par exemple label = 1) à chaque courbe afin d'identifier cette portion de la frontière lors de l'introduction des conditions aux limites.
2. Pour remplir entre les isolignes, nous utilisons la commande "fill=1" avec "plot".
3. Afin d'afficher l'échelle à barres à côté de la solution, nous utilisons la commande "value=true" avec "plot".

2.2.4 Conditions aux limites de Robin

On considère le problème suivant :

$$\begin{cases} -\Delta u = f & \text{sur } \Omega \\ \frac{\partial u}{\partial n} + \alpha u = g & \text{sur } \partial\Omega \end{cases} \quad (2.8)$$

On suppose que l'ouvert Ω est borné, connexe et régulier. On multiplie l'équation par une fonction test v et on intègre sur Ω . Ce qui donne ici

$$-\int_{\Omega} \Delta u v dx = \int_{\Omega} f v dx$$

d'où, en utilisant toujours la formule de Green

$$-\int_{\partial\Omega} \frac{\partial u}{\partial n} v d\sigma + \int_{\Omega} \nabla u \cdot \nabla v dx = \int_{\Omega} f v dx$$

ce qui fait, en tenant compte de la condition au bord

$$\int_{\Omega} \nabla u \cdot \nabla v(x) dx + \alpha \int_{\partial\Omega} u v d\sigma = \int_{\Omega} f v dx + \int_{\partial\Omega} g v d\sigma$$

où

$$a(u, v) = \int_{\Omega} \nabla u \cdot \nabla v dx + \alpha \int_{\partial\Omega} u v d\sigma \quad \text{et} \quad l(v) = \int_{\Omega} f v dx + \int_{\partial\Omega} g v d\sigma.$$

Dans l'exemple ci-dessous, on va considérer l'équation de Poisson sur $3D$ et avec conditions aux limites de Robin .

Il y a des différentes manières de créer un maillage $3D$ dans FreeFem++. On utilise la commande "buildlayers" dans lequel un domaine $3D$ est généré à partir d'un maillage de $2D$, et après on définit le domaine de troisième dimension, la commande écrire comme suite :

Il faut définir ce type de mesh par load "msh3" au début et définit la par

```
1 mesh3 (nom de mesh)=buildlayers(mesh de 2D,N,zbound=[a,b]); //Maillage 3D
```

tel que :- N est le nombre de parties de domaine qu'on va définir.

- [a,b] est le domaine de troisième dimension.

Exemple 2.7.

$$\begin{cases} -\Delta u = f, & \text{sur } \Omega_{3D} = [0, 1]^2 \times [0, 1] \\ \frac{\partial u}{\partial n} = \alpha(u - u_e) & \text{sur le deuxième face} \\ \frac{\partial u}{\partial n} = 0 & \text{sur le reste de la frontière} \end{cases} \quad (2.9)$$

La formulation variationnelle est :

$$\int_{\Omega} \nabla u \cdot \nabla v dx dy dz + \int_{\text{face2}} \alpha u v d\Gamma - \int_{\text{face2}} \alpha u_e v d\Gamma - \int_{\Omega} f v dx dy dz = 0 \quad \forall v.$$

tel que $f = 1000 \cdot \chi_{\{0.4 \leq x \leq 0.6\}} \cdot \chi_{\{0.4 \leq y \leq 0.6\}} \cdot \chi_{\{0.4 \leq z \leq 0.6\}}$

Le code de ce problème

```

1 //Équation de Poisson sur le cube unité 3D
2 load "msh3" // Nous avons besoin de msh3 en 3D
3 mesh Th2=square(10,10); //Maillage 2D
4 int ncapas=10; // Nombre de couches horizontales sur l'axe z
5 real zmin=0, zmax=1;
6 mesh3 Th=builddlayers(Th2,ncapas,zbound=[zmin,zmax]); //Maillage 3D
7 real alpha=0.25, ue=25;
8 func f=1000.*(x>0.4)*(x<0.6)*(y>0.4)*(y<0.6)*(z>0.4)*(z<0.6);
9 fespace Vh(Th,P13d); //P1 éléments finis de Lagrange en 3D
10 Vh u,v; // u,v appartiennent à Vh
11 // Et maintenant nous utilisons des macros pour simplifier les expressions
12 macro grad(u) [dx(u),dy(u),dz(u)] //MOE
13 solve lapace3d(u,v)=int3d(Th)(grad(u)'*grad(v))
14 +int2d(Th,2)(alpha*u*v)
15 -int3d(Th)(f*v)
16 -int2d(Th,2)(alpha*ue*v);
17 plot(u);

```

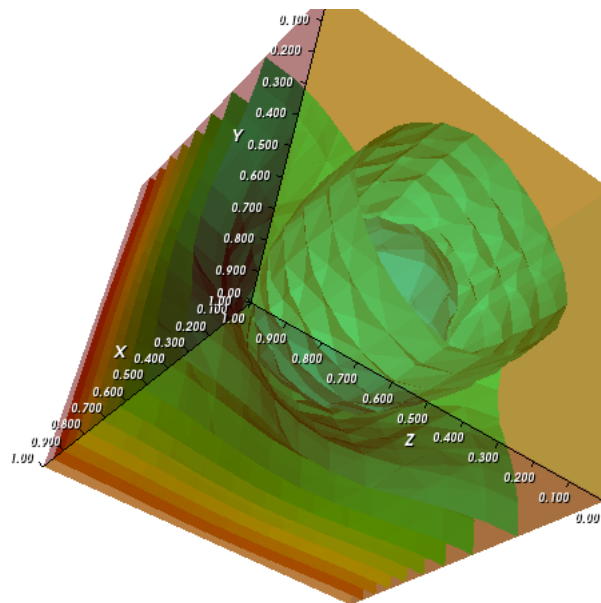


FIGURE 2.26 – Solution avec C.L. de Robin (3D)

Chapitre 3

Problèmes instationnaires

Dans ce chapitre on va présenter les problèmes instationnaires, et on va exprimer comment les résoudre par FreeFem++. Par donner des exemples du problèmes d'évolution et on va utiliser différents schémas pour la solution .

3.1 Problèmes d'évolution

FreeFem++ résout également des problèmes d'évolution tels que l'équation de la chaleur. On considère le problème modèle comme équation de la chaleur. On se donne une fonction u_0 définie sur Ω qui exprime la condition initiale et une fonction $f(t, x)$ (source de chaleur) définie sur $]0, T[\times \Omega$ et il s'agit de trouver une fonction $u(t, x)$ solution de

$$\begin{cases} \frac{\partial u}{\partial t} - \Delta u = f & \text{sur }]0, T[\times \Omega \\ u = 0 & \text{sur }]0, T[\times \partial\Omega \\ u(0, x) = u_0(x) & \text{sur } \Omega \end{cases} \quad (3.1)$$

Pour le problème d'évolution 3.1, et lors de la transformation sous la forme variationnelle :

On multiplions l'équation par une fonction test $v \in H_0^1(\Omega)$ qui ne dépend pas du temps et intégrons sur Ω :

$$\int_{\Omega} \frac{\partial u}{\partial t}(t, x)v(x)dx - \int_{\Omega} \Delta u(t, x)v(x)dx = \int_{\Omega} f(t, x)v(x)dx.$$

En utilisant la formule de Green et le fait que (au moins formellement)

$$\int_{\Omega} \frac{\partial u}{\partial t}(t, x)v(x)dx = \frac{d}{dt} \int_{\Omega} u(t, x)v(x)dx.$$

On obtient

$$\frac{d}{dt} \int_{\Omega} u(t, x)v(x)dx + \frac{d}{dt} \int_{\Omega} \nabla_x u(t, x) \cdot \nabla v(x)dx = \int_{\Omega} f(t, x)v(x)dx.$$

En fin, on pose le schéma implicite ou explicite du problème.

3.1.1 Schéma implicite

Exemple 3.1. trouver u solution de

$$\begin{cases} \partial_t u - \Delta u = f & \text{dans } \Omega \times]0, T[\\ u(x, 0) = u_0 & \text{dans } \Omega \\ u|_{\Gamma} = g \end{cases} \quad (3.2)$$

où u_0, f, g, T sont des données.

On l'approche à un schéma d'Euler implicite : $u^0 = u_0$
pour $n = 0, N$ avec $\delta t = T/N$ faire

$$\begin{cases} u^{n+1} - u^n - \delta t \Delta u^{n+1} = \delta t f \\ u^n|_{\Gamma} = g \text{ sur } \Omega \end{cases} \quad (3.3)$$

La formulation variationnelle :

$$\int_{\Omega} (u^{n+1} v + \delta t \nabla u^{n+1} \cdot \nabla v) = \int_{\Omega} (u^n v + \delta t f v).$$

tel que : $f = 1$ $g = 0$ $u_0 = 0$.

Le code de ce problème

```

1 int inside = 2 ;      // bordure intérieure
2 int outside = 1 ;    // bordure extérieure
3 border a(t=1,2){x=t ;y=0 ;label=outside ;} ;
4 border b(t=0,1){x=2 ;y=t ;label=outside ;} ;
5 border c(t=2,0){x=t ;y=1 ;label=outside ;} ;
6 border d(t=1,0){x = 1-t ; y = t ;label=inside ;} ;
7 border e(t=0, pi/2){ x= cos(t) ; y = sin(t) ;label=inside ;} ;
8 border e1(t=pi/2, 2*pi){ x= cos(t) ; y = sin(t) ;label=outside ;} ;
9 int n=4 ;
10 mesh th = buildmesh( a(5*n) + b(5*n) + c(10*n) + d(5*n)) ;
11 mesh Th = buildmesh( e(5*n) + e1(25*n) ) ;
12 mesh Sh =th+Th;
13 plot(Sh,wait=1) ;
14 fespace Vh(Sh,P1) ;      // Espace P1 EF
15 Vh uh,vh,u1=0 ;      // fonction inconnue et test.
16 func f=1 ;      // fonction côté droit
17 func g=0 ;      // fonction de condition aux limites
18 real dt =0.01 ;
19 int i=0 ;
20 problem Poisson(uh,vh,init=i) =      // définition du problème
21 int2d(Sh)( uh*vh+dt*(dx(uh)*dx(vh) + dy(uh)*dy(vh)) )      // forme bilinéaire
22 - int2d(Sh)( (u1+dt*f)*vh )      // forme linéaire
23 + on(1,2,3,4,uh=g) ;      // formulaire de conditions aux limites
24 for (i=0 ;i<10 ;i++)
25 {
26 Poisson ;      // résoudre le problème  $u^{n+1} == uh$ 
27 plot(uh,value=true,fill=1) ;
28 u1=uh ;      // poser  $u^n == u1$ 
29 }

```

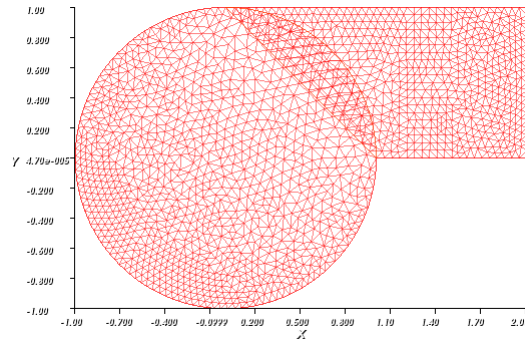


FIGURE 3.1 – Maillage

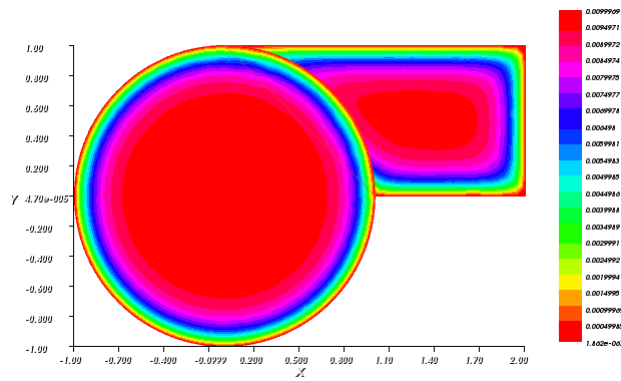


FIGURE 3.2 – Début de la solution

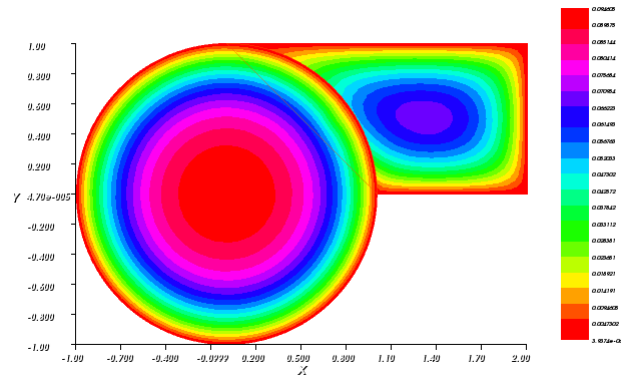


FIGURE 3.3 – Fin de la solution

Exemple 3.2. Dans ce qui suit, nous allons formuler une résolution d’une équation mise sous la forme suivante :

$$\begin{cases} \frac{\partial u(x, y, t)}{\partial t} - \alpha \Delta u(x, y, t) = f(x, y, t) & ((x, y), t) \in \Omega \times]0, T[\\ u(x, y, t) = 0 & ((x, y), t) \in \partial\Omega \times]0, T[\\ u(x, y, 0) = u_0(x, y) & ((x, y), t) \in \Omega \end{cases} \quad (3.4)$$

Ceci revient à une formulation variationnelle :

$$\int_{\Omega} \frac{u^{n-1}v}{\Delta t} - \int_{\Omega} \frac{u^n v}{\Delta t} - \alpha \int_{\Omega} \nabla u \nabla v = \int_{\Omega} f v$$

On pose :

$$u_{ex}(x, y, t) = (x^2 - 4) * (y^2 - 4) * (t - 9)$$

$$f(x, y, t) = x^2 * y^2 - 2 * t * x^2 - 2 * t * y^2 + 14 * x^2 + 14 * y^2 + 16 * t - 128$$

Maintenant on va présenter le code FreeFem du problème avec explication de chaque étape.

Le code de ce problème

```

1 // Domaine et maillage
2
3 real[int] edges = [-2,2,-2,2]; // Coins du domaine
4 int n = 50; // Nombre d'éléments
5 mesh pave = ...
    square(n,n,[edges[0]+(edges[1]-edges[0])*x,edges[2]+(edges[3]-edges[2])*y]);
6 //Maillage rectangulaire
7 int BORDURE = 10;
8 int[int] labels = [1,BORDURE,2,BORDURE,3,BORDURE,4,BORDURE] ;
9 pave = change(pave,label=labels);
10 savemesh(pave,"pave.msh");
11 plot(pave,ps="pave.png"); // Graphique et exportation

```

Dans cette partie, le domaine rectangulaire est défini, ainsi que une généralisation de la bordure, et le nombre d'éléments du maillage. On exporte par la suite le maillage.

```

1 //-----
2 // Constantes et espace éléments finis
3 //-----
4 real t=0,T = 1.; // [0,T] Temps
5 int N = 50; // Nombre d'éléments temps
6 real dt = T/N; // Pas de discrétisation
7 real alpha = 1; // Conductivite thermique
8 int i = 0; // Index
9
10 fespace VH(pave,P2);
11 VH u,v,old,f,uex;
12
13 //-----
14 // Condition initiales
15 //-----
16 VH[int] uh(N+2); // Vecteur regroupant les valeurs de uh
17 uh[0] = exp(x)*exp(y); // Valeur initiale de uh a t=0
18 old = uh[0];

```

Ici on definit les constantes ainsi que la valeur de la solution à t=0.

```

1 //-----
2 // Calcul et exportation
3 //-----
4
5 // Formulation variationnelle du problème
6 problem thermic(u,v)=
7 int2d(pave) (dt*alpha*(dx(u)*dx(v)+dy(u)*dy(v)))
8 +int2d(pave) (u*v)
9 -int2d(pave) (old*v)

```

```
10 +on (BORDURE, u=0) ;
```

La formulation variationnelle traduite en syntaxe FreeFem++

```
1 // Erreurs
2 real[int] errL2(N+1) ;
3 real[int] errL2P(N+1) ;
4 real[int] errH1(N+1) ;
5 // Calcul en temps discrétise
6 for(i;i<=N;i++){
7     t=i*dt; // Incrémentation du temps
8     f = x ^ 2 * y ^ 2 - 2 * t * x ^ 2 - 2 * t * y ^ 2 + 14 * x ^ 2 + 14 * y ^ ...
9         2 + 16 * t - 128 ;
10    // Fonction second membre qui change en fonction de t
11    uex = (x ^ 2 - 4) * (y ^ 2 - 4) * (t - 9) ; // Solution exacte évaluée avec
12        Matlab auparavant
13    thermal; // Résolution du problème
14    plot(u,wait=0,fill=1,cmm="t="+t,ps="snapshots/"+i+"_frame_t"+t+".png") ;
15    //Graphique et exportation
16    old = u; // On remplace la valeur de U(n-1) par U(n)
17    uh[i+1] = old; // (Facultatif)
18
19    // Evaluation des erreurs
20    errL2[i] = sqrt(int2d(pave)((u-uex)^2)) ;
21    errH1[i] = sqrt(int2d(pave)((dx(u)-dx(uex))^2+(dy(u)-dy(uex))^2)) ;
22    errL2P[i] = errL2[i]/sqrt(int2d(pave)((dx(u)+dy(u))^2)) ;
23 }
```

Dans cette partie, on définit des tableaux qui vont contenir les valeurs des distances. Ainsi que la fonction second membre calculée avec Maple à partir d'une solution exacte aussi définie. Les deux fonctions ont été définies à l'intérieur de la boucle car elles sont dépendentes de t.

```
1 // Exportation des erreurs
2 // Entete de fichier en Markdown
3 {
4     ofstream f("evaluated_log.txt") ;
5     f << "| T Value | L2 Evaluated Difference | H1 Evaluated Difference
6         | L2 Evaluated Percentage |" << endl ;
7     f << "|-----|-----|-----|-----|-----|-----|
8         |-----|" << endl ;
9 };
10 for(int j=0;j<=N;j++){
11     {
12         ofstream f("evaluated_log.txt",append) ;
13         f << "|"+j*dt+"|"+errL2[j]+"|"+errH1[j]+"|"+errL2[j]/errL2P[j]+"| " <<endl ;
14     };
15 }
```

On exporte les valeurs dans finchier texte sous forme de tableau en Markdown pour la facilité de sa mise en forme.

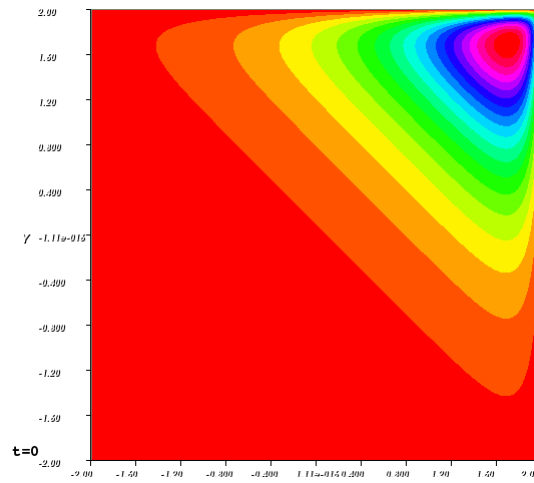


FIGURE 3.4 – Début de la solution

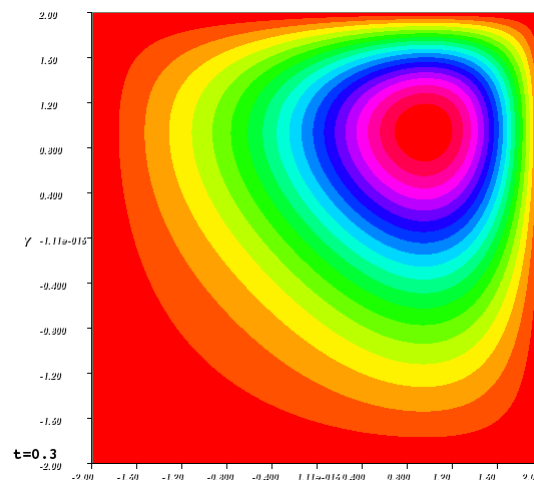
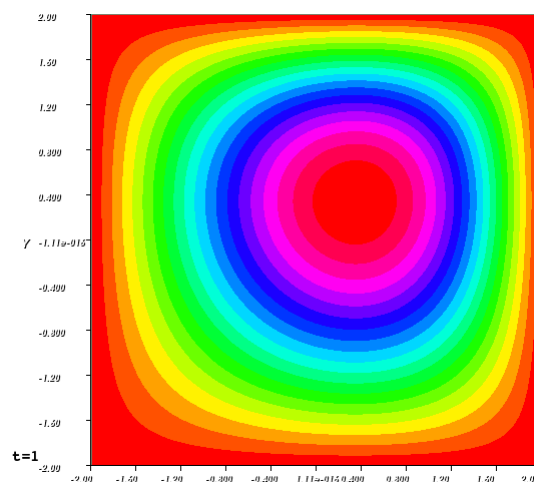
FIGURE 3.5 – Solution du moment $t=0.3$ 

FIGURE 3.6 – Fin de la solution

Exemple 3.3. On souhaite déterminer l'évolution d'un solide élastique, solution du problème variationnel consistant à déterminer

$u \in C^1([0, T]; L^2(\Omega)^2) \cap C^0([0, T]; H^1(\Omega)^2)$ tel que pour tout $t \in]0, T[$ et tout $v \in H^1(\Omega)^2$:

$$\int_{\Omega} \rho \frac{d^2 u}{dt^2} v dx + \int_{\Omega} 2\mu e(u) \cdot e(v) + \lambda (\operatorname{div} u)(\operatorname{div} v) = \int_{\Omega} f \cdot v \quad (3.5)$$

où f sont les forces appliquées, μ et λ les coefficients de Lamé du solide, ρ la masse volumique et $e()$ le tenseur symétrisé. Il faut éventuellement ajouter des conditions aux limites (temps et espace).

On effectue une discrétisation de type différences finies en temps. On peut (par exemple) considéré le schéma implicite, centré d'ordre 2 consistant à déterminer

$$\begin{aligned} \int_{\Omega} \rho \frac{u^{n+1} - 2u^n + u^{n-1}}{\Delta t^2} v \\ + \theta \int_{\Omega} 2\mu e(u^{n+1}) \cdot e(v) + \lambda (\operatorname{div} u^{n+1})(\operatorname{div} v) \\ + (1 - \theta) \int_{\Omega} 2\mu e(u^{n-1}) \cdot e(v) + \lambda (\operatorname{div} u^{n-1})(\operatorname{div} v) = \int_{\Omega} f \cdot v. \end{aligned}$$

tel que : $f = 0$

Le code de ce problème

```

1 real Lx=5., Ly=1., dn=7., mu=10., lambda=0., rho=1. ;
2 real Dt=0.5, T=100., exa=0.3 ;
3 func f1=0. ;func f2=0. ;
4 mesh Sh=square(Lx*dn,Ly*dn,[Lx*x,Ly*y]) ;
5 fespace Vh(Sh,[P2,P2]) ;
6 macro e(u1,u2)
7 [dx(u1), (sqrt(2.)*dx(u2)+dy(u1))/2., dy(u2)] //
8 macro div(u1,u2) (dx(u1)+dy(u2)) //
9 Vh [u1,u2],[v1,v2] ;
10 Vh [up1,up2],[upp1,upp2] ;
11 [upp1,upp2]=[0.,0.] ; // Déplacement initial
12 [v1,v2]=[0.,-1] ; // Vitesse initiale
13 [up1,up2]=[upp1+Dt*v1,upp2+Dt*v2] ; // au temps Dt
14 real t=0 ;
15 real theta=0.6 ; // theta >= 1/2 => cest stable
16 problem elasticity([u1,u2],[v1,v2],init=t,solver
17 =Cholesky)=
18 int2d(Sh)(rho*([u1,u2]'*[v1,v2])/(Dt)^2)
19 +int2d(Sh)(theta*(2.*mu*(e(u1,u2)'*e(v1,v2))
20 +lambda*div(u1,u2)*div(v1,v2)))
21 +int2d(Sh)((1.-theta)*(2.*mu*(e(upp1,upp2)'*e(v1,v2))
22 +lambda*div(upp1,upp2)*div(v1,v2)))
23 -int2d(Sh)(f1*v1+f2*v2)
24 -int2d(Sh)(rho*([2.*up1-upp1,2.*up2-upp2]'*[v1,v2])/(Dt)^2)
25 +on(4,u1=0,u2=0) ;
26 mesh Th=Sh ;
27 mesh Th0=Sh ;
28 fespace Ph(Th,P1) ;
29 fespace Wh(Sh,P1) ;
30 Ph sigma2=0 ; Wh sigma ;
31 while(t<T){
32 elasticity ;
33 sigma=(2.*mu*(e(u1,u2)'*e(u1,u2))+lambda*div(u1,u2)*div(u1,u2)) ;

```

```

34 Th=movemesh(Sh, [x+exa*u1, y+exa*u2]) ;
35 sigma2=0 ;sigma2[]=sigma[] ;
36 plot(sigma2, fill=1, wait=0, bb=[[0, -Ly], [Lx+Ly, 2.*Ly]]) ;t+=Dt ; ...
    [upp1, upp2]=[up1, up2] ; [up1, up2]=[u1, u2] ;
37 }
    
```

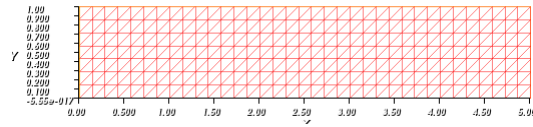


FIGURE 3.7 – Maillage

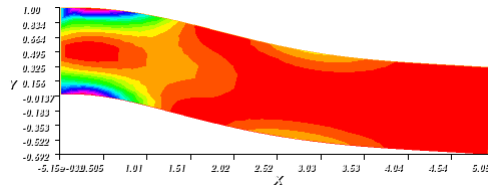


FIGURE 3.8 – Début de la solution

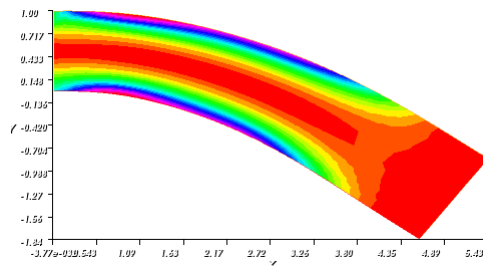


FIGURE 3.9 – Solution à moment facultatif

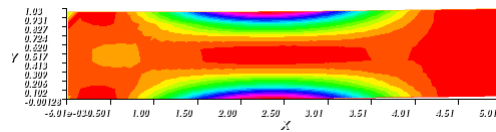


FIGURE 3.10 – Solution à moment facultatif

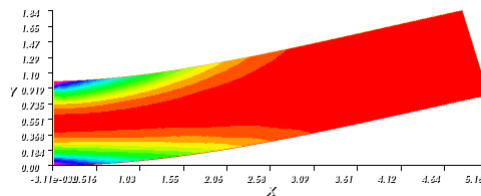


FIGURE 3.11 – Fin de la solution

Remarque 3.1. Quand le problème n'est pas stable le programme commence la solution mais il enregistre une erreur et s'arrête, par exemple si on change la ligne 15 dans le code au dessus comme ça

```
1 real theta=0.2 ; // theta < 1/2 => nest pas stable
```

FreeFem++ donne la début de solution comme suite

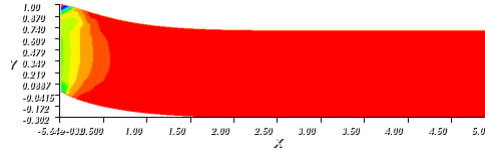


FIGURE 3.12 – Début de la solution

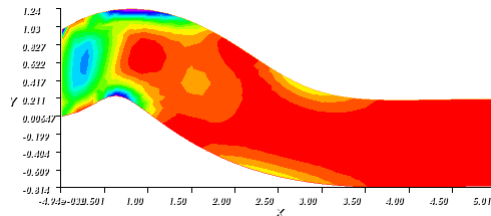


FIGURE 3.13 – Solution à moment facultatif

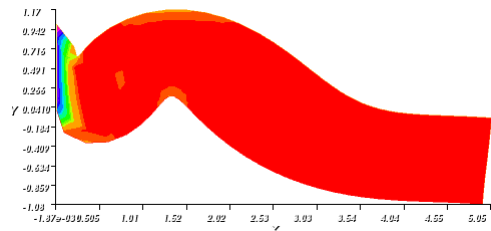


FIGURE 3.14 – Fin de la solution

et il affiche l'erreur suivante

```
429
      Error movemesh: 1 triangles was reverse (=> no move)
u min -0.0344495 max 5.23032
v min -1.5598 max 1.16011
current line = 35
Exec error : Error move mesh triangles was reverse
-- number :1
Exec error : Error move mesh triangles was reverse
-- number :1
err code 7 , mpirank 0
FreeFem++ returned error 7
```

FIGURE 3.15 – Affichage d'erreur

Exemple 3.4. considérons le problème suivant :

$$\begin{cases} u_t - \nabla \cdot (k \nabla u) = 0, & \text{sur } \Omega \times [0, T] \\ u(x, y, 0) = u_0(x, y) & \text{sur } \Omega \\ k \frac{\partial u}{\partial n} + \alpha(u - u_e) = 0 & \text{sur } \partial\Omega \times [0, T] \end{cases} \quad (3.6)$$

tel que : $u = u(x, y, t)$ représente la température à la position (x, y) et le temps t
 $u_0(x, y)$ est l'initiale température. Pour simplifier on prend $\Omega = [0, 6] \times [0, 1]$

$$k(x, y) = \begin{cases} 1 & \text{sur } y < 0.5 \\ 0.2 & \text{si non} \end{cases} \quad (3.7)$$

Comme dans l'exemple précédent, la condition aux limites reflète la loi de refroidissement de Newton. Pour obtenir la formulation variationnelle de 3.6, on procède comme dans le cas stationnaire. Pour commencer, on multiplie l'EDP par une fonction test $v = v(x, y)$. Ensuite, on intègre sur Ω et on applique l'intégration par parties. On obtient :

$$\int_{\Omega} \frac{\partial u}{\partial t} v \, dx dy - \int_{\partial\Omega} k \frac{\partial u}{\partial n} v \, d\Gamma + \int_{\Omega} \nabla u \nabla v \, dx dy = 0$$

On pose les conditions aux limites, on obtient :

$$\int_{\Omega} \frac{\partial u}{\partial t} v \, dx dy - \int_{\partial\Omega} \alpha(u - u_e) v \, d\Gamma + \int_{\Omega} k \nabla u \nabla v \, dx dy = 0 \quad \forall v \in H_0^1.$$

Après on va faire la discrétisation du temps par utiliser le schéma implicite d'Euler.

On note par : $dt = T/N$, avec $N \in \mathbb{N}$ fixe, et $u_n = u(t_n)$, avec $t_n = n \, dt$, $0 \leq n \leq N$.

Alors, on a : $\frac{\partial u}{\partial t} = \frac{u_n - u_{n-1}}{dt}$ En substituant cette expression dans (3.6)

$$\int_{\Omega} \frac{u_n - u_{n-1}}{dt} \, dx dy + \int_{\partial\Omega} \alpha(u_n - u_e) v \, d\Gamma + \int_{\Omega} k \nabla u_n \nabla v \, dx dy = 0 \quad \forall v \in H_0^1.$$

Qu'elle est la formulation discrète faible qu'on implimente dans FreeFem ++ suivant :

Le code de ce problème

```

1 //équation de chaleur transitoire
2 func u0=10+90*x/6; //température initiale
3 func k=1.8*(y<0.5)+0.2; // conductivité thermique
4 real ue=25; //température extérieure
5 real alpha=0.25;
6 real T=0.7; //temps finale
7 real dt=0.1; //pas de temps
8 mesh Th=square(30,5,[6*x,y]); // domaine
9 fespace Vh(Th,P1); // Éléments finis de Lagrange P1
10 Vh u=u0,v,uold;
11 Vh[int] sol((T/dt)+1);
12 //formulation variationnelle. Schéma d'Euler implicite
13 problem calor(u,v)=int2d(Th)(u*v/dt+k*(dx(u)*dx(v)+dy(u)*dy(v)))
14 +int1d(Th,1,2,3,4)(alpha*u*v)
15 -int1d(Th,1,2,3,4)(alpha*ue*v)
16 -int2d(Th)(uold*v/dt);
17 real t = 0;
18 for (int m = 0; m <= 0.7/dt; m++){
19 // Update
20 t = t+dt;
21 uold=u;
22 // Solve
23 calor;

```

```

24 // Plot
25 plot(u,fill=1, wait=true);
26 }

```

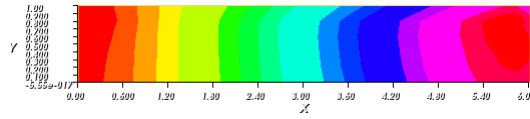


FIGURE 3.16 – Début de la solution

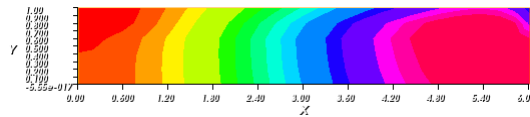


FIGURE 3.17 – Fin de la solution

3.1.2 Schéma d'euler explicite

Exemple 3.5. Considérons le problème linéaire de Sobolev suivant

$$\begin{cases} u_t - \Delta u_t - \Delta u = f(t) & \text{sur } \Omega \times [0, T] \\ u = 0 & \text{sur } \partial\Omega \times [0, T] \\ u(0) = u_0 & \text{sur } H_0^1(\Omega) \end{cases} \quad (3.8)$$

la formulation variationnelle est

$$\int_{\Omega} u_t v \, dx - \int_{\Omega} \Delta u_t v \, dx - \int_{\Omega} \Delta u v \, dx = \int_{\Omega} f v \, dx$$

$$\text{c'implique, } \int_{\Omega} u_t v \, dx + \int_{\Omega} \nabla u_t \nabla v \, dx + \int_{\Omega} \nabla u \nabla v \, dx = \int_{\Omega} f v \, dx$$

$$\text{alors, } \frac{d}{dt} \int_{\Omega} u v + \frac{d}{dt} \int_{\Omega} \nabla u \nabla v \, dx + \int_{\Omega} \nabla u \nabla v \, dx = \int_{\Omega} f v \, dx$$

tel que $f = x * (1 - x) * y * (1 - y) * \cos(1) + 2 * (\sin(1) + \cos(t)) * (x - x * x) * (y - y * y)$
et $v \in H_0^1(\Omega)$

Le code de ce problème

```

1 int np=5; //finesse du maillage
2 int[int] lab=[1,5,3,4]; //étiquetage des bords
3 mesh Th1 =square(2*np,2*np,[2*(x-1),2*(y-0.5)],label=lab);
4 border b1(t=-pi/2.,pi/2.){x=cos(t); y=sin(t); label=2;}
5 border b2(t=0,1){x=0.; y=1-2*t; label=5;}
6 mesh Th2 = buildmesh(b1(pi*np) + b2(2*np));
7 mesh Th = Th1 + Th2;
8 plot(Th,wait=1);
9 int n = 150;
10 fespace Vh(Th, P1); //la définition de lespace Vh

```

```

11 Vh uh, vh, uhn ;
12 real t=0, T=1, dt=0.1, dt2=1, t1=1, erreur=0 ;
13 real [int] erreur2(10) ;
14 erreur2=0 ;
15 func f=x*(1-x)*y*(1-y)*cos(t1)+2*(sin(t1)+cos(t1))*(x-x*x)*(y-y*y) ; ; //second
    membre
16 func u=x*(1-x)*y*(1-y)*sin(t1) ; //solution exacte
17 func dxu=(1-2*x)*y*(1-y)*sin(t1) ; func dyu=x*(1-x)*(1-2*y)*sin(t1) ; // le
    gradient de la solution exacte
18 problem Eulerexplicite(uh,vh, solver=LU)= //la formulation variationnelle
19 int2d(Th) ( dx(uh)*dx(vh)+dy(uh)*dy(vh) )+uh*vh )
20 -int2d(Th) ( dt*f+uhn)*vh)
21 -int2d(Th) ((1-dt)*(dx(uhn)*dx(vh)+dy(uhn)*dy(vh)))
22 +on(1, 2, 3, 4, uh=0) ; //on peut modifier la condition sur le bord
23 int i=0 ;
24 for(i ; i<10 ; i++){
25 dt=dt/2 ; t=dt ; uhn=0 ; erreur=0 ;
26
27 Eulerexplicite ;
28 uhn=uh ;
29 }
30 i=0 ;
31 for(i ; i<10 ; i++){
32 dt2=dt2/2 ;
33 plot(uhn ,fill=1 ,value=true) ;
34 }

```

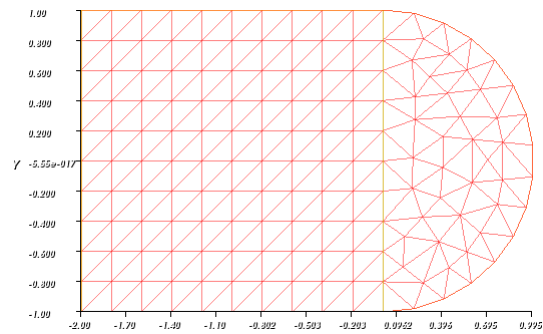


FIGURE 3.18 – Maillage

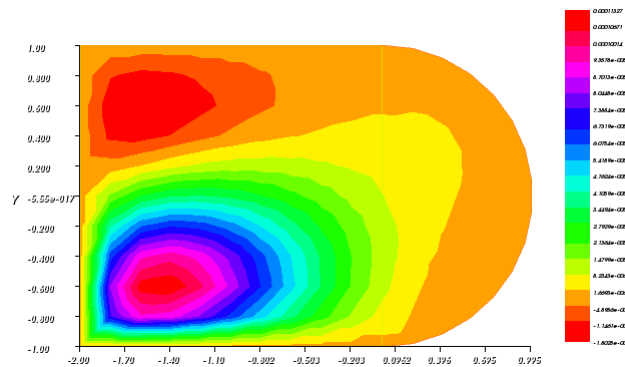


FIGURE 3.19 – Début de la solution

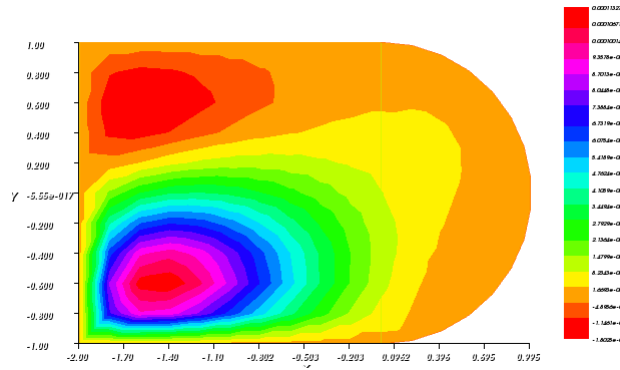


FIGURE 3.20 – Fin de la solution

3.1.3 Schéma de Rung-Kutta

Du même problème on applique le schéma de Rung-Kutta.

Exemple 3.6. .

Le code de ce problème

```

1 int np=5; // finesse du maillage
2 int[int] lab=[1,5,3,4]; // étiquetage des bords
3 mesh Th1 = square(2*np,2*np,[2*(x-1),2*(y-0.5)],label=lab);
4 border b1(t=-pi/2.,pi/2.){x=cos(t); y=sin(t); label=2;}
5 border b2(t=0,1){x=0.; y=1-2*t; label=5;}
6 mesh Th2 = buildmesh(b1(pi*np) + b2(2*np));
7 mesh Th = Th1 + Th2;
8 plot(Th,wait=1);
9 // inversion de centre (≠ 3,0), puis rotation
10 // d'angle pi/3
11 // en écriture complexe
12 complex Z0 = -3,Z1=exp(1i*pi/3);
13 // Affixe complexe du point courant :
14 func Z = x + (1i)*y;
15 func X = real(Z1*(Z0 + 1./(Z-Z0)));
16 func Y = imag(Z1*(Z0 + 1./(Z-Z0)));
17 Th = movemesh(Th,[X,Y]);
18 plot(Th,wait=1);
19
20 int n = 20;
21 real t=0, t1=1, T=20, dt=0.1, erreur=0, erreur2=0;
22 fespace Vh(Th, P1);
23 Vh uh, vh, uhn, uh1, uhn1;
24 func g=0;
25 func f1=x*(1-x)*y*(1-y)*cos(t1)+2*(sin(t1)+cos(t))*(x-x*x)*(y-y*y);
26 func f2=x*(1-x)*y*(1-y)*cos(t1+dt)+2*(sin(t1+dt)+cos(t+dt))*(x-x*x)*(y-y*y);
27 func u=x*(1-x)*y*(1-y)*sin(t1);
28 func dxu=(1-2*x)*y*(1-y)*sin(t1);
29 func dyu=x*(1-x)*(1-2*y)*sin(t1);
30 problem Eulerexplicit(uh1,vh, solver=LU)=
31 int2d(Th) ( dx(uh1)*dx(vh)+dy(uh1)*dy(vh) )+uh1*vh)
32 -int2d(Th) ( dt*f1+uhn)*vh)
33 -int2d(Th) ( (1-dt)*(dx(uhn)*dx(vh)+dy(uhn)*dy(vh))

```

```

34 +on(1, 2, 3, 4, uh1=g) ;
35 problem RungeKutta(uh,vh, solver=LU)=
36 int2d(Th) ( dx(uh)*dx(vh)+dy(uh)*dy(vh) )+uh*vh)
37 -int2d(Th) ( (0.5*dt*f1+uhn)*vh)
38 -int2d(Th) ((1-0.5*dt)*(dx(uhn)*dx(vh)+dy(uhn)*dy(vh)))
39 -int2d(Th) (0.5*dt*(f2*vh-(dx(uh1)*dx(vh)+dy(uh1)*dy(vh))))
40 +on(1, 2, 3, 4, uh=g) ;
41 t=dt ; uhn=0 ; t1=0 ;
42 int i=0 ;
43 for(i ; i< T ; i++){
44 Eulerexplicite ;
45 RungeKutta ;
46 uhn=uh ;
47 t1=t1+dt ;
48 erreur=max(erreur, sqrt(int2d(Th) (square(dxu-dx(uh))+square(dyu-dy(uh))))) ;
49 plot(uh, fill=1, value=true) ;
50 }

```

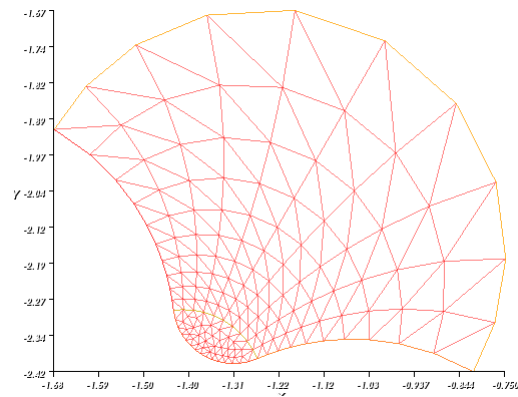


FIGURE 3.21 – Maillage

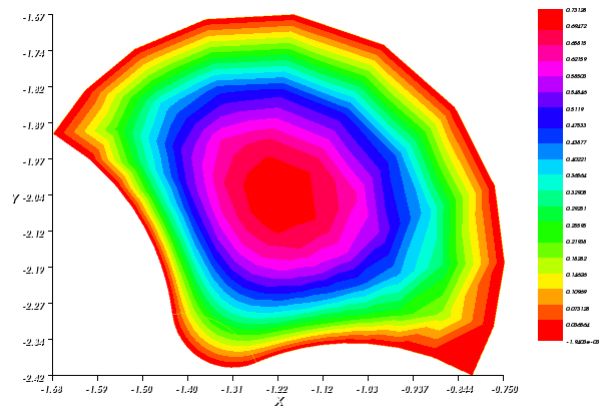


FIGURE 3.22 – Début de la solution

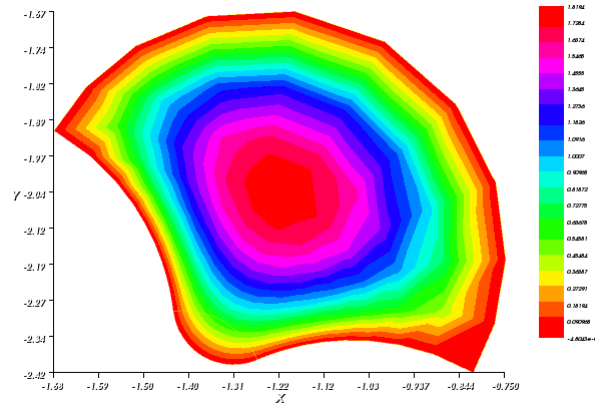


FIGURE 3.23 – Fin de la solution

3.1.4 Schéma implicite avec C.L de Robin

Exemple 3.7. Soit Ω un carré.

$$\begin{cases} \frac{\partial u}{\partial t} - \mu \Delta u = f & \text{sur } \Omega \times]0, T[\\ \mu \frac{\partial u}{\partial n} + \alpha(u - u_e) = 0 & \text{sur } \Gamma_2 \cup \Gamma_3 \\ u = u_e & \text{sur } \Gamma_1 \cup \Gamma_4 \\ u(x, y, 0) = u_0(x) & \text{sur } \Omega \end{cases} \quad (3.9)$$

avec un coefficient de viscosité positif μ et des conditions aux limites de Neuman .

On résout 3.9 par méthode des éléments finis en espace et différences finies en temps.

Pour obtenir la formulation variationnelle, multiplier par la fonction de test v les deux côtés de l'équation et appliquer la formule de Green :

$$\int_{\Omega} \frac{\partial u}{\partial t} v dx + \mu \int_{\Omega} \nabla u \nabla v dx + \alpha \int_{\Gamma_2 \cup \Gamma_3} u v d\sigma = \int_{\Omega} f v dx + \alpha \int_{\Gamma_2 \cup \Gamma_3} u_e v d\sigma$$

$$v \in V = \{v \in H^1(\Omega) / v = 0 \text{ sur } \Gamma_1 \cup \Gamma_4\}, u - u_e \in V$$

Schéma implicite :

$$\int_{\Omega} \frac{u^n - u^{n-1}}{dt} v dx + \mu \int_{\Omega} \nabla u^n \nabla v dx + \alpha \int_{\Gamma_2 \cup \Gamma_3} u^n v d\sigma = \int_{\Omega} f v dx + \alpha \int_{\Gamma_2 \cup \Gamma_3} u_e v d\sigma$$

$$v \in V = \{v \in H^1(\Omega) / v = 0 \text{ sur } \Gamma_1 \cup \Gamma_4\}, u - u_e \in V, u^0 = u_0, n = 1, 2, \dots$$

On pose

$$\alpha = 0.001, \mu = 1, u_e = 4, u_0 = 10,$$

$$f(x, y) = \begin{cases} 20xy & 0.6 \leq x \leq 0.8, 0.4 \leq y \leq 0.6 \\ 0 & \text{ailleurs} \end{cases} .$$

qu'on peut l'écrire : $f = 20 \cdot \chi_{\{0.6 \leq x \leq 0.8\}} \cdot \chi_{\{0.4 \leq y \leq 0.6\}}$

Le code de ce problème

```

1 // Equation de la chaleur, omega=[ 0,1] * [ 0,1]
2 // Schéma implicite
3 real Dx=0.02, Dy=0.02 ; // declaration des variables
4 real t, ue = 4., mu = 1., alpha=.001, dt=0.1, Tf=10 ;
5 mesh Th=square(floor(1./Dx),floor(1./Dy)) ; //definition du maillage
6 //mesh Th = square(n,m, [ x0+(x1-x0)*x,y0+(y1-y0)*y] ) ;
7 plot(Th,ps="square.jpg",cmm="maillage") ; // visualisation du maillage
8
9 // Définition de l'espace éléments finis
10 fespace Vh(Th,P1) ; // ensemble éléments finis
11 Vh uh,vh,uh0=10. ;
12 func f=20.*(0.6<=x & x<= .8)*(0.4<= y & y<=0.6) ; // second membre
13
14 // Résolution du problème variationnel
15 problem chaleur(uh,vh) = int2d(Th)(uh*vh/dt) -
16 int2d(Th)(uh0*vh/dt) +
17 int2d(Th)((dx(uh)*dx(vh) + dy(uh)*dy(vh))*mu) -
18 int2d(Th)(f*vh)+ int1d(Th,2,3)(alpha*uh*vh) -
19 int1d(Th,2,3)(ue*vh*alpha) + on(1,4,uh=ue) ;
20 int kk=0 ;
21 for ( real t=0. ;t<Tf ;t+=dt) // boucle du temps t
22 {
23 chaleur ;
24 uh0=uh ;
25 if ( !(kk % 20)) // kk%20= le reste de la division kk/20
26 /!(kk%20)=0 si le reste de la division nest pas nul, =1 si le reste est nul
27 /!(kk%20)= true or false
28 {plot(uh,cmm="t="+t+"[sec] ",dim=3,fill=true,value=true,wait=1) ; \
29 plot(uh,cmm="t="+t+"[sec]",dim=2,fill=true,value=true,wait=1) ;}
30 kk+=1 ;
31 }
32
33 // Visualisation des résultats numériques
34 cout<<"Taille.uh="<<uh[.n]<<endl ; // La taille du tableau
35 cout<<"Max.uh="<<uh[.max]<<" ; Min.uh="<<uh[.min]<<endl ; // Max et min
36 cout<<"Norme.uh l1="<<uh[.l1]<<endl ; // Norme l1
37 cout<<"Norme.uh l2="<<uh[.l2]<<endl ; // Norme l2
38 cout<<"Norme.uh sup="<<uh[.linf]<<endl ; // Norme sup
39 cout<<"Somme des termes="<<uh[.sum]<<endl ; // Somme
40 cout<<"uh[.]=<<uh[.<<endl ;

```

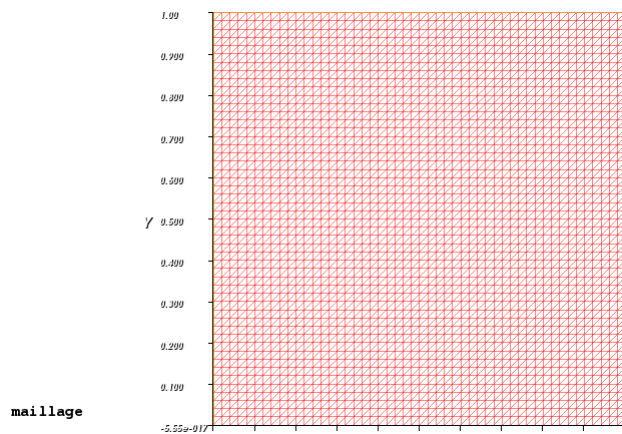


FIGURE 3.24 – Maillage

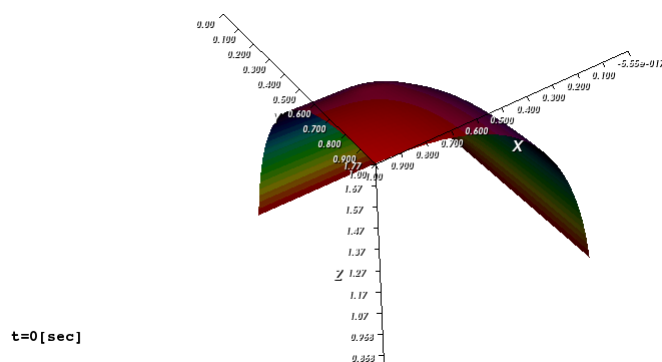
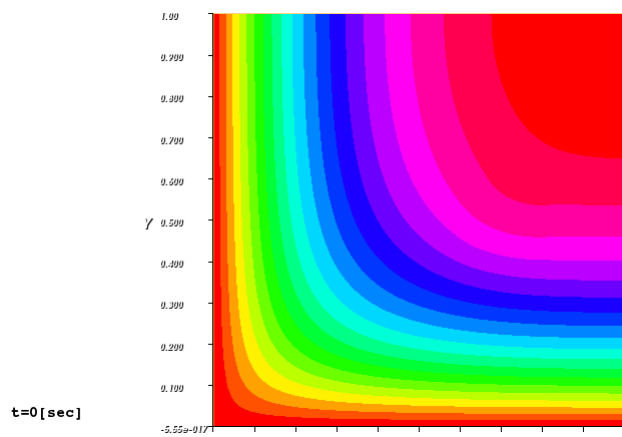
FIGURE 3.25 – Solution uh 

FIGURE 3.26 – Projection de la solution

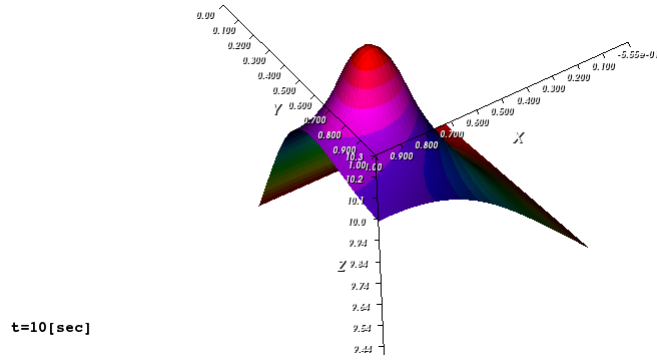


FIGURE 3.27 – Solution uh

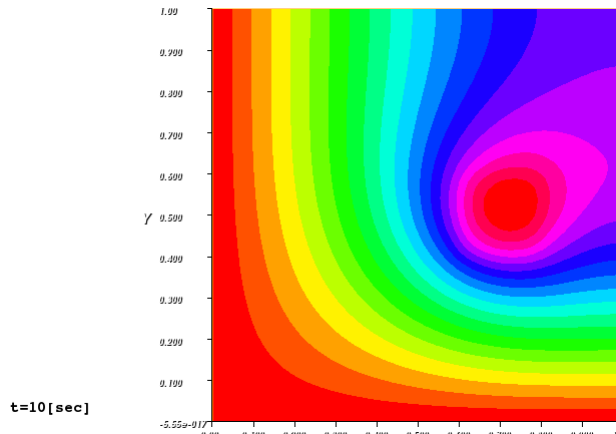


FIGURE 3.28 – Projection de la solution

Exemple 3.8. On prend Ω est un disque avec un trou.

$$\begin{cases} \frac{\partial u}{\partial t} - \Delta u = f & \text{sur } \Omega \times]0, T[\\ u = 20 & \text{sur } C_0 \\ u = 60 & \text{sur } C_1 \\ u(x, y, 0) = u_0(x) & \text{sur } \Omega \end{cases} \quad (3.10)$$

La formulation variationnelle

$$\int_{\Omega} u_t v - \int_{\Omega} \Delta u v = \int_{\Omega} f v$$

$$\text{Alors, } \int_{\Omega} u_t v \, dx - \int_{\partial\Omega} \nabla u v \, d\sigma + \int_{\Omega} \nabla u \nabla v \, dx = \int_{\Omega} f v \, dx$$

$$\text{C'implique } \int_{\Omega} \frac{u^n - u^{n-1}}{dt} v \, dx - \int_{\partial\Omega} \nabla u^n v \, d\sigma + \int_{\Omega} \nabla u^n \nabla v \, dx = \int_{\Omega} f v \, dx$$

tel que $f = 20 \cdot \chi_{\{6 \leq x \leq 8\}} \cdot \chi_{\{4 \leq y \leq 6\}}$
 $v \in H^1(\Omega)$

Le code de ce problème

```

1 // Equation de la chaleur, omega=disque avec un trou
2 // Schéma implicite
3 //verbosity=0.;
4 int C1=1, C2=2 ;
5 border C0(t=0,2*pi){x=5*cos(t) ; y=5*sin(t) ;label=C2 ;};
6 border C11(t=0,1){ x=-1+2*t; y=3 ; label=C1 ;};
7 border C12(t=0,1){ x=1 ; y=3-6*t; label=C1 ;};
8 border C13(t=0,1){ x=1-2*t; y=-3 ; label=C1 ;};
9 border C14(t=0,1){ x=-1 ; y=-3+6*t; label=C1 ;};
10 //plot(C0(50)+ C11(5)+C12(20)+C13(5)+C14(20)) ;
11 mesh Th=buildmesh(C0(50)+ C11(5)+C12(20)+C13(5)+C14(20)) ;
12 plot(Th,ps="circle.jpg",cmm="maillage") ; // visualisation du maillage
13 fespace Vh(Th,P1) ;
14 Vh uh,vh,uh0=10. ;
15 real dt=0.1, Tf=10 ;
16 func f=20.*(6.<=x & x<=8.)*(4.<=y & y<=6.) ;
17 macro Grad(u)[dx(u),dy(u)]//
18 problem chaleur(uh,vh) = int2d(Th)(uh*vh/dt + Grad(uh)*Grad(vh))
19 - int2d(Th)(uh0*vh/dt + f*vh) +on(C1,uh=60)+on(C2,uh=20) ;
20 int kk=0 ;
21 for (real t=0. ;t<Tf ;t+=dt)
22 {
23 chaleur;
24 uh0=uh ;
25 if ( !(kk % 20)) // kk %20= le reste de la division kk/20
26 // !(kk%20)=0 si le reste de la division nest pas nul, =1 si le reste est nul
27 // !(kk%20)= true or false
28 {
29 plot(uh,cmm="t="+t+"[sec]",dim=3,fill=true,value=true,wait=1) ;
30 plot(uh,cmm="t="+t+"[sec]",dim=2,fill=true,value=true,wait=1) ;
31 }
32 kk+=1 ;
33 {
34 cout<<"uh[]="<<uh[]<<endl ;
35 cout<<"Taille.uh="<<uh[].n<<endl ; // La taille du tableau
36 cout<<"Max.uh="<<uh[].max<<" ; Min.uh="<<uh[].min<<endl ; // Max et min
37 cout<<"Norme.uh l1="<<uh[].l1<<endl ; // Norme l1
38 cout<<"Norme.uh l2="<<uh[].l2<<endl ; // Norme l2
39 cout<<"Norme.uh sup="<<uh[].linfty<<endl ; // Norme sup
40 cout<<"Somme des termes="<<uh[].sum<<endl ; // Somme
41 cout<<"uh[]="<<uh[]<<endl ;

```

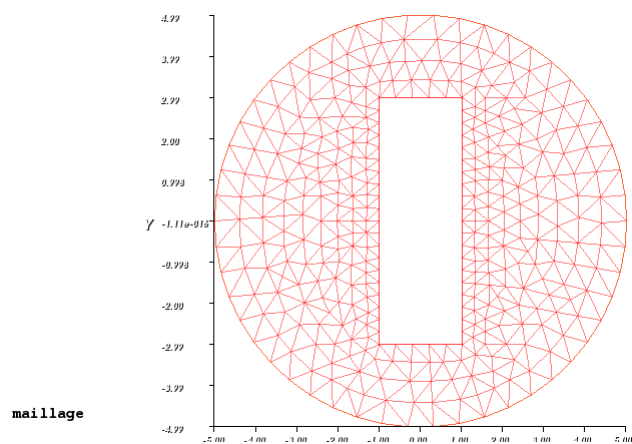
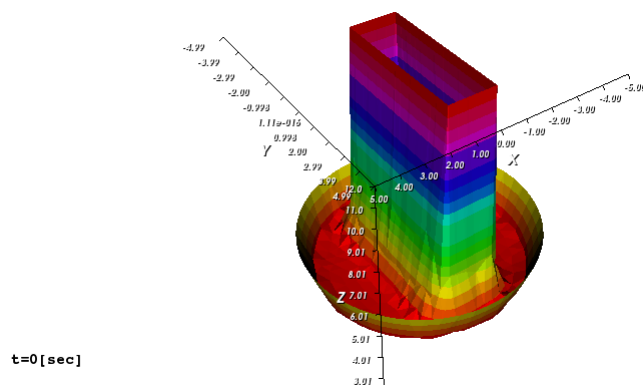
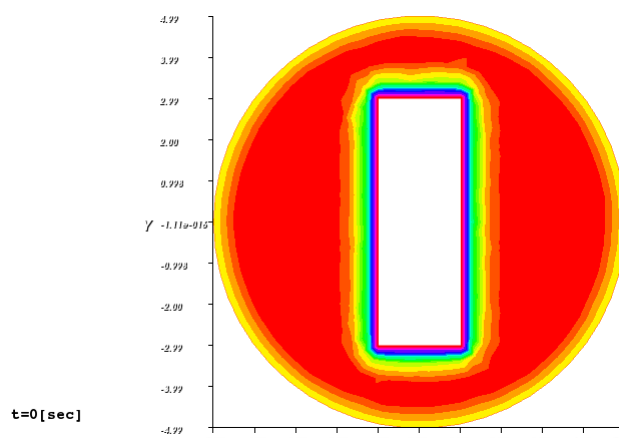


FIGURE 3.29 – Maillage

FIGURE 3.30 – Solution u_h FIGURE 3.31 – Projection de la solution u_h

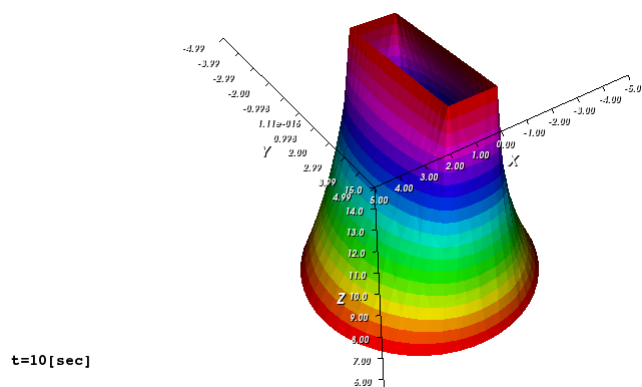
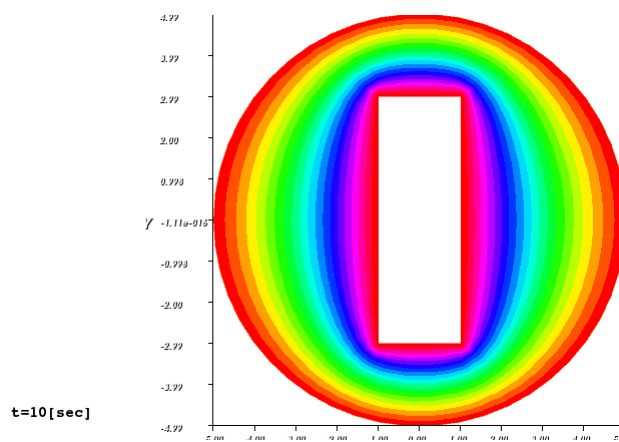
FIGURE 3.32 – Solution uh 

FIGURE 3.33 – Projection de la solution

Conclusion

Freefem++ est un logiciel en constante évolution car il est facile d'ajouter de nouveaux outils. Nous avons essayé d'illustrer cela avec les exemples.

Dans l'avenir, nous prévoyons d'inclure plus d'outils pour l'anisotropie tridimensionnelle différentiation adaptative et automatique des mailles par surcharge de l'opérateur, transparente intégration d'outils parallèles pour libérer l'utilisateur de la programmation de bas niveau.

Bibliographie

- [1] Allaire, G. (2016). Analyse variationnelle des équations aux dérivées partielles : promotion 2014, année 2, deuxième semestre, période 3, MAT431. École polytechnique.
- [2] Allaoua, M. Simulation numérique en FreeFem++ de quelques équations de la physique mathématiques.
- [3] Auliac, S. (2014). Développement d'outils d'optimisation pour freefem++ (Doctoral dissertation, Paris 6).
- [4] Bekkouche, F. (2018). Etude théorique et numérique des équations non-linéaires de Sobolev (Doctoral dissertation, Université de Valenciennes et du Hainaut-Cambresis).
- [5] Font, R., & Peria, F. (2013). The Finite Element Method with FreeFem++ for beginners. *Electronic Journal of Mathematics & Technology*, 7(4).
- [6] Frederic, H. (2022). FreeFEM Documentation. <https://github.com/FreeFem/FreeFem-doc/raw/pdf/FreeFEM-documentation.pdf>
- [7] Hecht, F., & Pironneau, O. (2013). freefem+.
- [8] Henrot, A. (2016). Polycopie de cours M1 Équations aux dérivées partielles. École des Mines de Nancy.
- [9] Herbin, R. (2001). Polycopie de cours M1 Analyse numérique des EDP.
- [10] Le Dret, H. (2010). Notes de cours M2—Équations aux dérivées partielles elliptiques. Université Pierre et Marie Curie, Paris, 4.
- [11] Lucquin, B. (2004). Équation aux dérivées partielles et leurs approximations : niveau M1. Ellipses éd. Marketing.
- [12] Maury, B. (2007). Méthode des éléments finis en élasticité : programme d'approfondissement, sciences de l'ingénieur, simulation et modélisation, innovation technologique : promotion 2005, année 3, période 1... École polytechnique.
- [13] Pantz, O. (2001). An Introduction to FreeFem++. École Polytechnique.